

Elementy teorii rozproszeń

Karol Kołodziej

Instytut Fizyki
Uniwersytet Śląski, Katowice
<http://kk.us.edu.pl>

Dyskretne poziomy energii cząstki, które otrzymywaliśmy dla stanów związanych były konsekwencją warunków brzegowych. W teorii rozprożeń energia cząstki jest na ogół z góry określona, a interesuje nas zachowanie asymptotyczne na dużych odległościach funkcji falowej cząstki rozproszonej na określonym potencjale.

Dyskretne poziomy energii cząstki, które otrzymywaliśmy dla stanów związanych były konsekwencją warunków brzegowych.

W teorii rozprożeń energia cząstki jest na ogół z góry określona, a interesuje nas zachowanie asymptotyczne na dużych odległościach funkcji falowej cząstki rozproszonej na określonym potencjale.

Teoria rozprożeń odgrywa szczególnie ważną rolę w fizyce jądrowej i w fizyce cząstek elementarnych, gdzie jest podstawowym źródłem informacji na temat badanych obiektów fizycznych.

Dyskretne poziomy energii cząstki, które otrzymywaliśmy dla stanów związanych były konsekwencją warunków brzegowych.

W teorii rozprożeń energia cząstki jest na ogół z góry określona, a interesuje nas zachowanie asymptotyczne na dużych odległościach funkcji falowej cząstki rozproszonej na określonym potencjale.

Teoria rozprożeń odgrywa szczególnie ważną rolę w fizyce jądrowej i w fizyce cząstek elementarnych, gdzie jest podstawowym źródłem informacji na temat badanych obiektów fizycznych.

Stosuje się ją również w fizyce atomowej, czy w fizyce ciała stałego.

Dyskretne poziomy energii cząstki, które otrzymywaliśmy dla stanów związanych były konsekwencją warunków brzegowych.

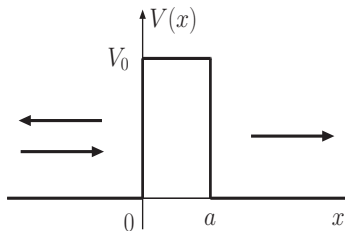
W teorii rozprożeń energia cząstki jest na ogół z góry określona, a interesuje nas zachowanie asymptotyczne na dużych odległościach funkcji falowej cząstki rozproszonej na określonym potencjale.

Teoria rozprożeń odgrywa szczególnie ważną rolę w fizyce jądrowej i w fizyce cząstek elementarnych, gdzie jest podstawowym źródłem informacji na temat badanych obiektów fizycznych.

Stosuje się ją również w fizyce atomowej, czy w fizyce ciała stałego.

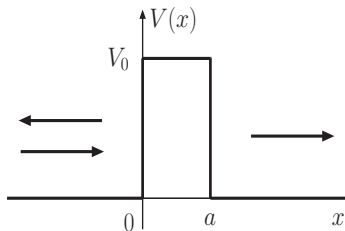
Rozpraszanie na prostokątnej barierze potencjału

Rozważmy jednowymiarowe rozpraszanie cząstki na prostokątnej barierze potencjału.



Rozpraszanie na prostokątnej barierze potencjału

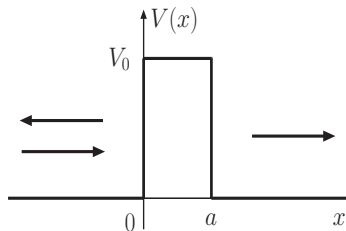
Rozważmy jednowymiarowe rozpraszanie cząstki na prostokątnej barierze potencjału.



$$V(x) = \begin{cases} 0, & \text{dla } x < 0, \\ V_0, & \text{dla } 0 < x < a, \\ 0, & \text{dla } x > a. \end{cases}$$

Rozpraszanie na prostokątnej barierze potencjału

Rozważmy jednowymiarowe rozpraszanie cząstki na prostokątnej barierze potencjału.

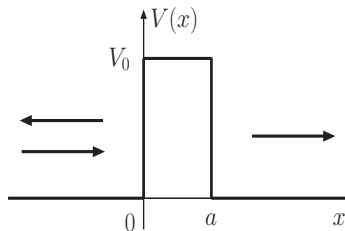


$$V(x) = \begin{cases} 0, & \text{dla } x < 0, \\ V_0, & \text{dla } 0 < x < a, \\ 0, & \text{dla } x > a. \end{cases}$$

Nie ma potrzeby symetryzowania potencjału względem 0, gdyż rozpatrywane zagadnienie nie ma takiej symetrii.

Rozpraszanie na prostokątnej barierze potencjału

Rozważmy jednowymiarowe rozpraszanie cząstki na prostokątnej barierze potencjału.



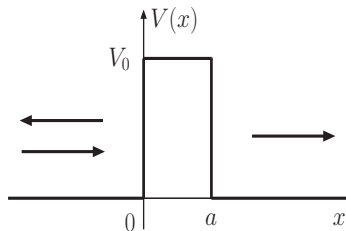
$$V(x) = \begin{cases} 0, & \text{dla } x < 0, \\ V_0, & \text{dla } 0 < x < a, \\ 0, & \text{dla } x > a. \end{cases}$$

Nie ma potrzeby symetryzowania potencjału względem 0, gdyż rozpatrywane zagadnienie nie ma takiej symetrii.

Cząstka o energii E nadbiega z lewej strony i

Rozpraszanie na prostokątnej barierze potencjału

Rozważmy jednowymiarowe rozpraszanie cząstki na prostokątnej barierze potencjału.



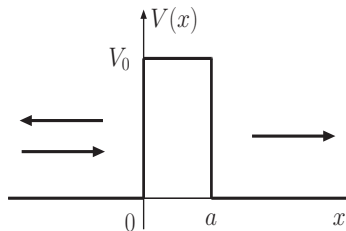
$$V(x) = \begin{cases} 0, & \text{dla } x < 0, \\ V_0, & \text{dla } 0 < x < a, \\ 0, & \text{dla } x > a. \end{cases}$$

Nie ma potrzeby symetryzowania potencjału względem 0, gdyż rozpatrywane zagadnienie nie ma takiej symetrii.

Cząstka o energii E nadbiega z lewej strony i albo zawraca po odbiciu się od bariery,

Rozpraszanie na prostokątnej barierze potencjału

Rozważmy jednowymiarowe rozpraszanie cząstki na prostokątnej barierze potencjału.



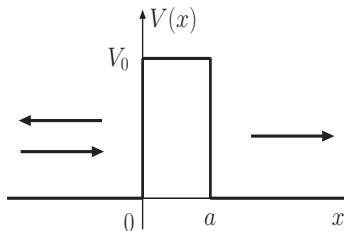
$$V(x) = \begin{cases} 0, & \text{dla } x < 0, \\ V_0, & \text{dla } 0 < x < a, \\ 0, & \text{dla } x > a. \end{cases}$$

Nie ma potrzeby symetryzowania potencjału względem 0, gdyż rozpatrywane zagadnienie nie ma takiej symetrii.

Cząstka o energii E nadbiega z lewej strony i albo zawraca po odbiciu się od bariery, albo przechodzi przez barierę.

Rozpraszanie na prostokątnej barierze potencjału

Rozważmy jednowymiarowe rozpraszanie cząstki na prostokątnej barierze potencjału.



$$V(x) = \begin{cases} 0, & \text{dla } x < 0, \\ V_0, & \text{dla } 0 < x < a, \\ 0, & \text{dla } x > a. \end{cases}$$

Nie ma potrzeby symetryzowania potencjału względem 0, gdyż rozpatrywane zagadnienie nie ma takiej symetrii.

Cząstka o energii E nadbiega z lewej strony i albo zawraca po odbiciu się od bariery, albo przechodzi przez barierę.

Zauważmy, że mamy tu do czynienia z problemem stacjonarnym, gdyż potencjał $V(x)$ nie zależy od czasu.

W obszarze, gdzie $V(x) = 0$ cząstka jest opisywana jednowymiarowym równaniem falowym

Zauważmy, że mamy tu do czynienia z problemem stacjonarnym, gdyż potencjał $V(x)$ nie zależy od czasu.

W obszarze, gdzie $V(x) = 0$ cząstka jest opisywana jednowymiarowym równaniem falowym

$$-\frac{\hbar^2}{2m} \frac{d^2 u(x)}{dx^2} = Eu(x)$$

Zauważmy, że mamy tu do czynienia z problemem stacjonarnym, gdyż potencjał $V(x)$ nie zależy od czasu.

W obszarze, gdzie $V(x) = 0$ cząstka jest opisywana jednowymiarowym równaniem falowym

$$-\frac{\hbar^2}{2m} \frac{d^2 u(x)}{dx^2} = Eu(x) \quad \Rightarrow \quad \frac{d^2 u(x)}{dx^2} = -\frac{2mE}{\hbar^2} u(x),$$

Zauważmy, że mamy tu do czynienia z problemem stacjonarnym, gdyż potencjał $V(x)$ nie zależy od czasu.

W obszarze, gdzie $V(x) = 0$ cząstka jest opisywana jednowymiarowym równaniem falowym

$$-\frac{\hbar^2}{2m} \frac{d^2 u(x)}{dx^2} = Eu(x) \Rightarrow \frac{d^2 u(x)}{dx^2} = -\frac{2mE}{\hbar^2} u(x),$$

którego rozwiązanie ma postać

$$u(x) = \left\{ \right.$$

Zauważmy, że mamy tu do czynienia z problemem stacjonarnym, gdyż potencjał $V(x)$ nie zależy od czasu.

W obszarze, gdzie $V(x) = 0$ cząstka jest opisywana jednowymiarowym równaniem falowym

$$-\frac{\hbar^2}{2m} \frac{d^2 u(x)}{dx^2} = Eu(x) \Rightarrow \frac{d^2 u(x)}{dx^2} = -\frac{2mE}{\hbar^2} u(x),$$

którego rozwiązanie ma postać

$$u(x) = \begin{cases} Ae^{ikx} + Be^{-ikx}, \end{cases}$$

Zauważmy, że mamy tu do czynienia z problemem stacjonarnym, gdyż potencjał $V(x)$ nie zależy od czasu.

W obszarze, gdzie $V(x) = 0$ cząstka jest opisywana jednowymiarowym równaniem falowym

$$-\frac{\hbar^2}{2m} \frac{d^2 u(x)}{dx^2} = Eu(x) \Rightarrow \frac{d^2 u(x)}{dx^2} = -\frac{2mE}{\hbar^2} u(x),$$

którego rozwiązanie ma postać

$$u(x) = \begin{cases} Ae^{ikx} + Be^{-ikx}, & \text{dla} \end{cases}$$

Zauważmy, że mamy tu do czynienia z problemem stacjonarnym, gdyż potencjał $V(x)$ nie zależy od czasu.

W obszarze, gdzie $V(x) = 0$ cząstka jest opisywana jednowymiarowym równaniem falowym

$$-\frac{\hbar^2}{2m} \frac{d^2 u(x)}{dx^2} = Eu(x) \Rightarrow \frac{d^2 u(x)}{dx^2} = -\frac{2mE}{\hbar^2} u(x),$$

którego rozwiązanie ma postać

$$u(x) = \begin{cases} Ae^{ikx} + Be^{-ikx}, & \text{dla } x < 0, \end{cases}$$

Zauważmy, że mamy tu do czynienia z problemem stacjonarnym, gdyż potencjał $V(x)$ nie zależy od czasu.

W obszarze, gdzie $V(x) = 0$ cząstka jest opisywana jednowymiarowym równaniem falowym

$$-\frac{\hbar^2}{2m} \frac{d^2 u(x)}{dx^2} = Eu(x) \Rightarrow \frac{d^2 u(x)}{dx^2} = -\frac{2mE}{\hbar^2} u(x),$$

którego rozwiązanie ma postać

$$u(x) = \begin{cases} Ae^{ikx} + Be^{-ikx}, & \text{dla } x < 0, \\ Ce^{ikx}, & \end{cases}$$

Zauważmy, że mamy tu do czynienia z problemem stacjonarnym, gdyż potencjał $V(x)$ nie zależy od czasu.

W obszarze, gdzie $V(x) = 0$ cząstka jest opisywana jednowymiarowym równaniem falowym

$$-\frac{\hbar^2}{2m} \frac{d^2 u(x)}{dx^2} = Eu(x) \Rightarrow \frac{d^2 u(x)}{dx^2} = -\frac{2mE}{\hbar^2} u(x),$$

którego rozwiązanie ma postać

$$u(x) = \begin{cases} Ae^{ikx} + Be^{-ikx}, & \text{dla } x < 0, \\ Ce^{ikx}, & \text{dla } x > 0, \end{cases}$$

Zauważmy, że mamy tu do czynienia z problemem stacjonarnym, gdyż potencjał $V(x)$ nie zależy od czasu.

W obszarze, gdzie $V(x) = 0$ cząstka jest opisywana jednowymiarowym równaniem falowym

$$-\frac{\hbar^2}{2m} \frac{d^2 u(x)}{dx^2} = Eu(x) \Rightarrow \frac{d^2 u(x)}{dx^2} = -\frac{2mE}{\hbar^2} u(x),$$

którego rozwiązanie ma postać

$$u(x) = \begin{cases} Ae^{ikx} + Be^{-ikx}, & \text{dla } x < 0, \\ Ce^{ikx}, & \text{dla } x > a, \end{cases}$$

Zauważmy, że mamy tu do czynienia z problemem stacjonarnym, gdyż potencjał $V(x)$ nie zależy od czasu.

W obszarze, gdzie $V(x) = 0$ cząstka jest opisywana jednowymiarowym równaniem falowym

$$-\frac{\hbar^2}{2m} \frac{d^2 u(x)}{dx^2} = Eu(x) \Rightarrow \frac{d^2 u(x)}{dx^2} = -\frac{2mE}{\hbar^2} u(x),$$

którego rozwiązanie ma postać

$$u(x) = \begin{cases} Ae^{ikx} + Be^{-ikx}, & \text{dla } x < 0, \\ Ce^{ikx}, & \text{dla } x > a, \end{cases} \quad \text{gdzie } k = \frac{\sqrt{2mE}}{\hbar} = \frac{p}{\hbar}.$$

Zauważmy, że mamy tu do czynienia z problemem stacjonarnym, gdyż potencjał $V(x)$ nie zależy od czasu.

W obszarze, gdzie $V(x) = 0$ cząstka jest opisywana jednowymiarowym równaniem falowym

$$-\frac{\hbar^2}{2m} \frac{d^2 u(x)}{dx^2} = Eu(x) \Rightarrow \frac{d^2 u(x)}{dx^2} = -\frac{2mE}{\hbar^2} u(x),$$

którego rozwiązanie ma postać

$$u(x) = \begin{cases} Ae^{ikx} + Be^{-ikx}, & \text{dla } x < 0, \\ Ce^{ikx}, & \text{dla } x > a, \end{cases} \quad \text{gdzie } k = \frac{\sqrt{2mE}}{\hbar} = \frac{p}{\hbar}.$$

Wyrazy $\sim e^{ikx}$ odpowiadają cząstce biegnącej z lewa na prawo,

Zauważmy, że mamy tu do czynienia z problemem stacjonarnym, gdyż potencjał $V(x)$ nie zależy od czasu.

W obszarze, gdzie $V(x) = 0$ cząstka jest opisywana jednowymiarowym równaniem falowym

$$-\frac{\hbar^2}{2m} \frac{d^2 u(x)}{dx^2} = Eu(x) \Rightarrow \frac{d^2 u(x)}{dx^2} = -\frac{2mE}{\hbar^2} u(x),$$

którego rozwiązanie ma postać

$$u(x) = \begin{cases} Ae^{ikx} + Be^{-ikx}, & \text{dla } x < 0, \\ Ce^{ikx}, & \text{dla } x > 0, \end{cases} \quad \text{gdzie } k = \frac{\sqrt{2mE}}{\hbar} = \frac{p}{\hbar}.$$

Wyrazy $\sim e^{ikx}$ odpowiadają cząstce biegnącej z lewa na prawo, a wyraz $\sim e^{-ikx}$ odpowiada cząstce biegnącej z prawa na lewo.

Zauważmy, że mamy tu do czynienia z problemem stacjonarnym, gdyż potencjał $V(x)$ nie zależy od czasu.

W obszarze, gdzie $V(x) = 0$ cząstka jest opisywana jednowymiarowym równaniem falowym

$$-\frac{\hbar^2}{2m} \frac{d^2 u(x)}{dx^2} = Eu(x) \Rightarrow \frac{d^2 u(x)}{dx^2} = -\frac{2mE}{\hbar^2} u(x),$$

którego rozwiązanie ma postać

$$u(x) = \begin{cases} Ae^{ikx} + Be^{-ikx}, & \text{dla } x < 0, \\ Ce^{ikx}, & \text{dla } x > 0, \end{cases} \quad \text{gdzie } k = \frac{\sqrt{2mE}}{\hbar} = \frac{p}{\hbar}.$$

Wyrazy $\sim e^{ikx}$ odpowiadają cząstce biegnącej z lewa na prawo, a wyraz $\sim e^{-ikx}$ odpowiada cząstce biegnącej z prawa na lewo.

Aby zrozumieć sens fizyczny współczynników A , B i C przypomnijmy definicję **wektora prądu prawdopodobieństwa**

$$\vec{S}(\vec{r}, t) = -\frac{i\hbar}{2m} \left[\psi^* \vec{\nabla} \psi - (\vec{\nabla} \psi^*) \psi \right],$$

który w stacjonarnym przypadku jednowymiarowym ma postać

$$S(x) = -\frac{i\hbar}{2m} \left[u^*(x) \frac{du(x)}{dx} - \frac{du^*(x)}{dx} u(x) \right].$$

Aby zrozumieć sens fizyczny współczynników A , B i C przypomnijmy definicję **wektora prądu prawdopodobieństwa**

$$\vec{S}(\vec{r}, t) = -\frac{i\hbar}{2m} \left[\psi^* \vec{\nabla} \psi - (\vec{\nabla} \psi^*) \psi \right],$$

który w stacjonarnym przypadku jednowymiarowym ma postać

$$S(x) = -\frac{i\hbar}{2m} \left[u^*(x) \frac{du(x)}{dx} - \frac{du^*(x)}{dx} u(x) \right].$$

Jeśli $x < 0$,

Aby zrozumieć sens fizyczny współczynników A , B i C przypomnijmy definicję **wektora prądu prawdopodobieństwa**

$$\vec{S}(\vec{r}, t) = -\frac{i\hbar}{2m} \left[\psi^* \vec{\nabla} \psi - (\vec{\nabla} \psi^*) \psi \right],$$

który w stacjonarnym przypadku jednowymiarowym ma postać

$$S(x) = -\frac{i\hbar}{2m} \left[u^*(x) \frac{du(x)}{dx} - \frac{du^*(x)}{dx} u(x) \right].$$

Jeśli $x < 0$, to $u(x) = Ae^{ikx} + Be^{-ikx}$,

Aby zrozumieć sens fizyczny współczynników A , B i C przypomnijmy definicję **wektora prądu prawdopodobieństwa**

$$\vec{S}(\vec{r}, t) = -\frac{i\hbar}{2m} \left[\psi^* \vec{\nabla} \psi - (\vec{\nabla} \psi^*) \psi \right],$$

który w stacjonarnym przypadku jednowymiarowym ma postać

$$S(x) = -\frac{i\hbar}{2m} \left[u^*(x) \frac{du(x)}{dx} - \frac{du^*(x)}{dx} u(x) \right].$$

Jeśli $x < 0$, to $u(x) = Ae^{ikx} + Be^{-ikx}$, więc

$$S(x) =$$

Aby zrozumieć sens fizyczny współczynników A , B i C przypomnijmy definicję **wektora prądu prawdopodobieństwa**

$$\vec{S}(\vec{r}, t) = -\frac{i\hbar}{2m} \left[\psi^* \vec{\nabla} \psi - (\vec{\nabla} \psi^*) \psi \right],$$

który w stacjonarnym przypadku jednowymiarowym ma postać

$$S(x) = -\frac{i\hbar}{2m} \left[u^*(x) \frac{du(x)}{dx} - \frac{du^*(x)}{dx} u(x) \right].$$

Jeśli $x < 0$, to $u(x) = Ae^{ikx} + Be^{-ikx}$, więc

$$S(x) = -\frac{i\hbar}{2m} \left[(A^* e^{-ikx} + B^* e^{ikx}) (ikAe^{ikx} - ikBe^{-ikx}) \right]$$

Aby zrozumieć sens fizyczny współczynników A , B i C przypomnijmy definicję **wektora prądu prawdopodobieństwa**

$$\vec{S}(\vec{r}, t) = -\frac{i\hbar}{2m} \left[\psi^* \vec{\nabla} \psi - (\vec{\nabla} \psi^*) \psi \right],$$

który w stacjonarnym przypadku jednowymiarowym ma postać

$$S(x) = -\frac{i\hbar}{2m} \left[u^*(x) \frac{du(x)}{dx} - \frac{du^*(x)}{dx} u(x) \right].$$

Jeśli $x < 0$, to $u(x) = Ae^{ikx} + Be^{-ikx}$, więc

$$S(x) = -\frac{i\hbar}{2m} \left[(A^* e^{-ikx} + B^* e^{ikx}) (ikAe^{ikx} - ikBe^{-ikx}) - (-ikA^* e^{-ikx} + ikB^* e^{ikx}) (Ae^{ikx} + Be^{-ikx}) \right].$$

Aby zrozumieć sens fizyczny współczynników A , B i C przypomnijmy definicję **wektora prądu prawdopodobieństwa**

$$\vec{S}(\vec{r}, t) = -\frac{i\hbar}{2m} \left[\psi^* \vec{\nabla} \psi - (\vec{\nabla} \psi^*) \psi \right],$$

który w stacjonarnym przypadku jednowymiarowym ma postać

$$S(x) = -\frac{i\hbar}{2m} \left[u^*(x) \frac{du(x)}{dx} - \frac{du^*(x)}{dx} u(x) \right].$$

Jeśli $x < 0$, to $u(x) = Ae^{ikx} + Be^{-ikx}$, więc

$$\begin{aligned} S(x) = & -\frac{i\hbar}{2m} \left[(A^* e^{-ikx} + B^* e^{ikx}) (ikAe^{ikx} - ikBe^{-ikx}) \right. \\ & \left. - (-ikA^* e^{-ikx} + ikB^* e^{ikx}) (Ae^{ikx} + Be^{-ikx}) \right]. \end{aligned}$$

$$S(x) = -\frac{i\hbar}{2m} \left[(A^* e^{-ikx} + B^* e^{ikx}) (ikAe^{ikx} - ikBe^{-ikx}) - (-ikA^* e^{-ikx} + ikB^* e^{ikx}) (Ae^{ikx} + Be^{-ikx}) \right]$$

=

$$\begin{aligned} S(x) &= -\frac{i\hbar}{2m} \left[(A^* e^{-ikx} + B^* e^{ikx}) (ikAe^{ikx} - ikBe^{-ikx}) \right. \\ &\quad \left. - (-ikA^* e^{-ikx} + ikB^* e^{ikx}) (Ae^{ikx} + Be^{-ikx}) \right] \\ &= -\frac{i\hbar}{2m} (ik) [2|A|^2 - 2|B|^2] \end{aligned}$$

$$\begin{aligned}
 S(x) &= -\frac{i\hbar}{2m} \left[(A^* e^{-ikx} + B^* e^{ikx}) (ikAe^{ikx} - ikBe^{-ikx}) \right. \\
 &\quad \left. - (-ikA^* e^{-ikx} + ikB^* e^{ikx}) (Ae^{ikx} + Be^{-ikx}) \right] \\
 &= -\frac{i\hbar}{2m} (ik) \left[2|A|^2 - 2|B|^2 \right. \\
 &\quad \left. + A^* B e^{-2ikx} (-1 + 1) + B^* A e^{2ikx} (1 - 1) \right]
 \end{aligned}$$

$$\begin{aligned}
 S(x) &= -\frac{i\hbar}{2m} \left[(A^* e^{-ikx} + B^* e^{ikx}) (ikAe^{ikx} - ikBe^{-ikx}) \right. \\
 &\quad \left. - (-ikA^* e^{-ikx} + ikB^* e^{ikx}) (Ae^{ikx} + Be^{-ikx}) \right] \\
 &= -\frac{i\hbar}{2m} (ik) \left[2|A|^2 - 2|B|^2 \right. \\
 &\quad \left. + A^* B e^{-2ikx} (-1 + 1) + B^* A e^{2ikx} (1 - 1) \right] \\
 &=
 \end{aligned}$$

$$\begin{aligned}
 S(x) &= -\frac{i\hbar}{2m} \left[(A^* e^{-ikx} + B^* e^{ikx}) (ikAe^{ikx} - ikBe^{-ikx}) \right. \\
 &\quad \left. - (-ikA^* e^{-ikx} + ikB^* e^{ikx}) (Ae^{ikx} + Be^{-ikx}) \right] \\
 &= -\frac{i\hbar}{2m} (ik) \left[2|A|^2 - 2|B|^2 \right. \\
 &\quad \left. + A^* B e^{-2ikx} (-1 + 1) + B^* A e^{2ikx} (1 - 1) \right] \\
 &= \frac{\hbar k}{m} (|A|^2 - |B|^2)
 \end{aligned}$$

$$\begin{aligned}
 S(x) &= -\frac{i\hbar}{2m} \left[(A^* e^{-ikx} + B^* e^{ikx}) (ikAe^{ikx} - ikBe^{-ikx}) \right. \\
 &\quad \left. - (-ikA^* e^{-ikx} + ikB^* e^{ikx}) (Ae^{ikx} + Be^{-ikx}) \right] \\
 &= -\frac{i\hbar}{2m} (ik) \left[2|A|^2 - 2|B|^2 \right. \\
 &\quad \left. + A^* B e^{-2ikx} (-1 + 1) + B^* A e^{2ikx} (1 - 1) \right] \\
 &= \frac{\hbar k}{m} (|A|^2 - |B|^2) = v (|A|^2 - |B|^2),
 \end{aligned}$$

$$\begin{aligned}
 S(x) &= -\frac{i\hbar}{2m} \left[(A^* e^{-ikx} + B^* e^{ikx}) (ikAe^{ikx} - ikBe^{-ikx}) \right. \\
 &\quad \left. - (-ikA^* e^{-ikx} + ikB^* e^{ikx}) (Ae^{ikx} + Be^{-ikx}) \right] \\
 &= -\frac{i\hbar}{2m} (ik) \left[2|A|^2 - 2|B|^2 \right. \\
 &\quad \left. + A^* B e^{-2ikx} (-1 + 1) + B^* A e^{2ikx} (1 - 1) \right] \\
 &= \frac{\hbar k}{m} (|A|^2 - |B|^2) = v (|A|^2 - |B|^2),
 \end{aligned}$$

gdzie $v = \frac{\hbar k}{m} = \frac{p}{m}$ jest prędkością cząstki o pędzie p .

$$\begin{aligned}
 S(x) &= -\frac{i\hbar}{2m} \left[(A^* e^{-ikx} + B^* e^{ikx}) (ikAe^{ikx} - ikBe^{-ikx}) \right. \\
 &\quad \left. - (-ikA^* e^{-ikx} + ikB^* e^{ikx}) (Ae^{ikx} + Be^{-ikx}) \right] \\
 &= -\frac{i\hbar}{2m} (ik) \left[2|A|^2 - 2|B|^2 \right. \\
 &\quad \left. + A^* B e^{-2ikx} (-1 + 1) + B^* A e^{2ikx} (1 - 1) \right] \\
 &= \frac{\hbar k}{m} (|A|^2 - |B|^2) = v (|A|^2 - |B|^2),
 \end{aligned}$$

gdzie $v = \frac{\hbar k}{m} = \frac{p}{m}$ jest prędkością cząstki o pędzie p .

Podobnie, jeśli $x > a$, to $u(x) = Ce^{ikx}$

Podobnie, jeśli $x > a$, to $u(x) = Ce^{ikx}$ i

$$S(x) =$$

Podobnie, jeśli $x > a$, to $u(x) = Ce^{ikx}$ i

$$S(x) = -\frac{i\hbar}{2m} \left[C^* e^{-ikx} ikCe^{ikx} - (-ikC^* e^{-ikx}) Ce^{ikx} \right]$$

Podobnie, jeśli $x > a$, to $u(x) = Ce^{ikx}$ i

$$S(x) = -\frac{i\hbar}{2m} \left[C^* e^{-ikx} ikCe^{ikx} - (-ikC^* e^{-ikx}) Ce^{ikx} \right]$$
$$=$$

Podobnie, jeśli $x > a$, to $u(x) = Ce^{ikx}$ i

$$\begin{aligned} S(x) &= -\frac{i\hbar}{2m} \left[C^* e^{-ikx} ikCe^{ikx} - (-ikC^* e^{-ikx}) Ce^{ikx} \right] \\ &= -\frac{i\hbar}{2m} (ik)^2 |C|^2 = \end{aligned}$$

Podobnie, jeśli $x > a$, to $u(x) = Ce^{ikx}$ i

$$\begin{aligned} S(x) &= -\frac{i\hbar}{2m} \left[C^* e^{-ikx} ikCe^{ikx} - (-ikC^* e^{-ikx}) Ce^{ikx} \right] \\ &= -\frac{i\hbar}{2m} (ik)2|C|^2 = \frac{\hbar k}{m} |C|^2 = \end{aligned}$$

Podobnie, jeśli $x > a$, to $u(x) = Ce^{ikx}$ i

$$\begin{aligned} S(x) &= -\frac{i\hbar}{2m} \left[C^* e^{-ikx} ikCe^{ikx} - (-ikC^* e^{-ikx}) Ce^{ikx} \right] \\ &= -\frac{i\hbar}{2m} (ik)2|C|^2 = \frac{\hbar k}{m} |C|^2 = v|C|^2. \end{aligned}$$

Podobnie, jeśli $x > a$, to $u(x) = Ce^{ikx}$ i

$$\begin{aligned} S(x) &= -\frac{i\hbar}{2m} \left[C^* e^{-ikx} ikCe^{ikx} - (-ikC^* e^{-ikx}) Ce^{ikx} \right] \\ &= -\frac{i\hbar}{2m} (ik)2|C|^2 = \frac{\hbar k}{m} |C|^2 = v|C|^2. \end{aligned}$$

Widzimy, że prąd prawdopodobieństwa

$$S(x) = \begin{cases} v(|A|^2 - |B|^2), & x < 0, \\ v|C|^2, & x > a \end{cases}$$

możemy interpretować jako **wypadkowy strumień cząstek**

Widzimy, że prąd prawdopodobieństwa

$$S(x) = \begin{cases} v(|A|^2 - |B|^2), & x < 0, \\ v|C|^2, & x > a \end{cases}$$

możemy interpretować jako **wypadkowy strumień cząstek** – dodatni w kierunku na prawo,

Widzimy, że prąd prawdopodobieństwa

$$S(x) = \begin{cases} v(|A|^2 - |B|^2), & x < 0, \\ v|C|^2, & x > a \end{cases}$$

możemy interpretować jako **wypadkowy strumień cząstek** – dodatni w kierunku na prawo, co zgadza się z wcześniejszym stwierdzeniem, że A , B i C są amplitudami fali padającej, odbitej i przechodzącej.

Widzimy, że prąd prawdopodobieństwa

$$S(x) = \begin{cases} v(|A|^2 - |B|^2), & x < 0, \\ v|C|^2, & x > a \end{cases}$$

możemy interpretować jako **wypadkowy strumień cząstek** – dodatni w kierunku na prawo, co zgadza się z wcześniejszym stwierdzeniem, że A , B i C są amplitudami fali padającej, odbitej i przechodzącej.

Sprawdźmy wymiar $[S(x)]$.

Widzimy, że prąd prawdopodobieństwa

$$S(x) = \begin{cases} v(|A|^2 - |B|^2), & x < 0, \\ v|C|^2, & x > a \end{cases}$$

możemy interpretować jako **wypadkowy strumień cząstek** – dodatni w kierunku na prawo, co zgadza się z wcześniejszym stwierdzeniem, że A , B i C są amplitudami fali padającej, odbitej i przechodzącej.

Sprawdźmy wymiar $[S(x)]$.

$$[|A|^2] = [|B|^2] = [|C|^2] =$$

Widzimy, że prąd prawdopodobieństwa

$$S(x) = \begin{cases} v(|A|^2 - |B|^2), & x < 0, \\ v|C|^2, & x > a \end{cases}$$

możemy interpretować jako **wypadkowy strumień cząstek** – dodatni w kierunku na prawo, co zgadza się z wcześniejszym stwierdzeniem, że A , B i C są amplitudami fali padającej, odbitej i przechodzącej.

Sprawdźmy wymiar $[S(x)]$.

$$[|A|^2] = [|B|^2] = [|C|^2] = \frac{n}{\text{jedn. obj.}} =$$

Widzimy, że prąd prawdopodobieństwa

$$S(x) = \begin{cases} v(|A|^2 - |B|^2), & x < 0, \\ v|C|^2, & x > a \end{cases}$$

możemy interpretować jako **wypadkowy strumień cząstek** – dodatni w kierunku na prawo, co zgadza się z wcześniejszym stwierdzeniem, że A , B i C są amplitudami fali padającej, odbitej i przechodzącej.

Sprawdźmy wymiar $[S(x)]$.

$$[|A|^2] = [|B|^2] = [|C|^2] = \frac{n}{\text{jedn. obj.}} = \frac{n}{(\text{jedn. dł.})^3}$$

Widzimy, że prąd prawdopodobieństwa

$$S(x) = \begin{cases} v(|A|^2 - |B|^2), & x < 0, \\ v|C|^2, & x > a \end{cases}$$

możemy interpretować jako **wypadkowy strumień cząstek** – dodatni w kierunku na prawo, co zgadza się z wcześniejszym stwierdzeniem, że A , B i C są amplitudami fali padającej, odbitej i przechodzącej.

Sprawdźmy wymiar $[S(x)]$.

$$[|A|^2] = [|B|^2] = [|C|^2] = \frac{n}{\text{jedn. obj.}} = \frac{n}{(\text{jedn. dł.})^3} \Rightarrow$$

Widzimy, że prąd prawdopodobieństwa

$$S(x) = \begin{cases} v(|A|^2 - |B|^2), & x < 0, \\ v|C|^2, & x > a \end{cases}$$

możemy interpretować jako **wypadkowy strumień cząstek** – dodatni w kierunku na prawo, co zgadza się z wcześniejszym stwierdzeniem, że A , B i C są amplitudami fali padającej, odbitej i przechodzącej.

Sprawdźmy wymiar $[S(x)]$.

$$[|A|^2] = [|B|^2] = [|C|^2] = \frac{n}{\text{jedn. obj.}} = \frac{n}{(\text{jedn. dł.})^3} \Rightarrow$$

$$[S(x)] =$$

Widzimy, że prąd prawdopodobieństwa

$$S(x) = \begin{cases} v(|A|^2 - |B|^2), & x < 0, \\ v|C|^2, & x > a \end{cases}$$

możemy interpretować jako **wypadkowy strumień cząstek** – dodatni w kierunku na prawo, co zgadza się z wcześniejszym stwierdzeniem, że A , B i C są amplitudami fali padającej, odbitej i przechodzącej.

Sprawdźmy wymiar $[S(x)]$.

$$[|A|^2] = [|B|^2] = [|C|^2] = \frac{n}{\text{jedn. obj.}} = \frac{n}{(\text{jedn. dł.})^3} \Rightarrow$$

$$[S(x)] = \frac{\text{jedn. dł.}}{\text{jedn. czasu}} \cdot \frac{n}{(\text{jedn. dł.})^3}$$

Widzimy, że prąd prawdopodobieństwa

$$S(x) = \begin{cases} v(|A|^2 - |B|^2), & x < 0, \\ v|C|^2, & x > a \end{cases}$$

możemy interpretować jako **wypadkowy strumień cząstek** – dodatni w kierunku na prawo, co zgadza się z wcześniejszym stwierdzeniem, że A , B i C są amplitudami fali padającej, odbitej i przechodzącej.

Sprawdźmy wymiar $[S(x)]$.

$$\begin{aligned} [|A|^2] &= [|B|^2] = [|C|^2] = \frac{n}{\text{jedn. obj.}} = \frac{n}{(\text{jedn. dł.})^3} \Rightarrow \\ [S(x)] &= \frac{\text{jedn. dł.}}{\text{jedn. czasu}} \cdot \frac{n}{(\text{jedn. dł.})^3} = \end{aligned}$$

Widzimy, że prąd prawdopodobieństwa

$$S(x) = \begin{cases} v(|A|^2 - |B|^2), & x < 0, \\ v|C|^2, & x > a \end{cases}$$

możemy interpretować jako **wypadkowy strumień cząstek** – dodatni w kierunku na prawo, co zgadza się z wcześniejszym stwierdzeniem, że A , B i C są amplitudami fali padającej, odbitej i przechodzącej.

Sprawdźmy wymiar $[S(x)]$.

$$\begin{aligned} [|A|^2] &= [|B|^2] = [|C|^2] = \frac{n}{\text{jedn. obj.}} = \frac{n}{(\text{jedn. dł.})^3} \Rightarrow \\ [S(x)] &= \frac{\text{jedn. dł.}}{\text{jedn. czasu}} \cdot \frac{n}{(\text{jedn. dł.})^3} = \frac{n}{(\text{jedn. dł.})^2 \cdot \text{jedn. czasu}} \end{aligned}$$

Widzimy, że prąd prawdopodobieństwa

$$S(x) = \begin{cases} v(|A|^2 - |B|^2), & x < 0, \\ v|C|^2, & x > a \end{cases}$$

możemy interpretować jako **wypadkowy strumień cząstek** – dodatni w kierunku na prawo, co zgadza się z wcześniejszym stwierdzeniem, że A , B i C są amplitudami fali padającej, odbitej i przechodzącej.

Sprawdźmy wymiar $[S(x)]$.

$$\begin{aligned} [|A|^2] &= [|B|^2] = [|C|^2] = \frac{n}{\text{jedn. obj.}} = \frac{n}{(\text{jedn. dł.})^3} \Rightarrow \\ [S(x)] &= \frac{\text{jedn. dł.}}{\text{jedn. czasu}} \cdot \frac{n}{(\text{jedn. dł.})^3} = \frac{n}{(\text{jedn. dł.})^2 \cdot \text{jedn. czasu}}. \end{aligned}$$

Stosunek

$$\frac{|B|^2}{|A|^2}$$

nazywamy **współczynnikiem odbicia**, a stosunek

$$\frac{|C|^2}{|A|^2}$$

nazywamy **współczynnikiem przejścia przez barierę**.

Stosunek

$$\frac{|B|^2}{|A|^2}$$

nazywamy **współczynnikiem odbicia**, a stosunek

$$\frac{|C|^2}{|A|^2}$$

nazywamy **współczynnikiem przejścia przez barierę**.

Rozwiązanie równania Schrödingera dla cząstki wewnątrz bariery,
 $0 < x < a$,

Rozwiązanie równania Schrödingera dla cząstki wewnątrz bariery,
 $0 < x < a$,

$$-\frac{\hbar^2}{2m} \frac{d^2 u(x)}{dx^2} + V_0 u(x) = E u(x)$$

Rozwiązanie równania Schrödingera dla cząstki wewnątrz bariery,
 $0 < x < a$,

$$-\frac{\hbar^2}{2m} \frac{d^2 u(x)}{dx^2} + V_0 u(x) = E u(x) \quad \Rightarrow \quad \frac{d^2 u(x)}{dx^2} = -\frac{2m(E - V_0)}{\hbar^2} u(x),$$

Rozwiązanie równania Schrödingera dla cząstki wewnątrz bariery,
 $0 < x < a$,

$$-\frac{\hbar^2}{2m} \frac{d^2 u(x)}{dx^2} + V_0 u(x) = E u(x) \Rightarrow \frac{d^2 u(x)}{dx^2} = -\frac{2m(E - V_0)}{\hbar^2} u(x),$$

zależy od tego, czy jej energia E jest większa, czy mniejsza od V_0 .

Rozwiązanie równania Schrödingera dla cząstki wewnątrz bariery,
 $0 < x < a$,

$$-\frac{\hbar^2}{2m} \frac{d^2 u(x)}{dx^2} + V_0 u(x) = E u(x) \Rightarrow \frac{d^2 u(x)}{dx^2} = -\frac{2m(E - V_0)}{\hbar^2} u(x),$$

zależy od tego, czy jej energia E jest większa, czy mniejsza od V_0 .
Dla $E > V_0 \Rightarrow E - V_0 > 0$ rozwiązanie ma postać

Rozwiązanie równania Schrödingera dla cząstki wewnątrz bariery,
 $0 < x < a$,

$$-\frac{\hbar^2}{2m} \frac{d^2 u(x)}{dx^2} + V_0 u(x) = E u(x) \Rightarrow \frac{d^2 u(x)}{dx^2} = -\frac{2m(E - V_0)}{\hbar^2} u(x),$$

zależy od tego, czy jej energia E jest większa, czy mniejsza od V_0 .
Dla $E > V_0 \Rightarrow E - V_0 > 0$ rozwiązanie ma postać

$$w(x) = Fe^{i\alpha x} + Ge^{-i\alpha x},$$

Rozwiązanie równania Schrödingera dla cząstki wewnątrz bariery,
 $0 < x < a$,

$$-\frac{\hbar^2}{2m} \frac{d^2 u(x)}{dx^2} + V_0 u(x) = E u(x) \Rightarrow \frac{d^2 u(x)}{dx^2} = -\frac{2m(E - V_0)}{\hbar^2} u(x),$$

zależy od tego, czy jej energia E jest większa, czy mniejsza od V_0 .
Dla $E > V_0 \Rightarrow E - V_0 > 0$ rozwiązanie ma postać

$$w(x) = Fe^{i\alpha x} + Ge^{-i\alpha x}, \quad \alpha = \frac{\sqrt{2m(E - V_0)}}{\hbar}.$$

Rozwiązanie równania Schrödingera dla cząstki wewnątrz bariery,
 $0 < x < a$,

$$-\frac{\hbar^2}{2m} \frac{d^2 u(x)}{dx^2} + V_0 u(x) = E u(x) \Rightarrow \frac{d^2 u(x)}{dx^2} = -\frac{2m(E - V_0)}{\hbar^2} u(x),$$

zależy od tego, czy jej energia E jest większa, czy mniejsza od V_0 .
Dla $E > V_0 \Rightarrow E - V_0 > 0$ rozwiązanie ma postać

$$w(x) = Fe^{i\alpha x} + Ge^{-i\alpha x}, \quad \alpha = \frac{\sqrt{2m(E - V_0)}}{\hbar}.$$

Natomiast, dla $0 < E < V_0 \Rightarrow E - V_0 < 0$ rozwiązanie ma postać

$$w(x) = Fe^{\beta x} + Ge^{-\beta x},$$

Natomiast, dla $0 < E < V_0 \Rightarrow E - V_0 < 0$ rozwiązanie ma postać

$$w(x) = Fe^{\beta x} + Ge^{-\beta x}, \quad \beta = \frac{\sqrt{2m(V_0 - E)}}{\hbar}.$$

Natomiast, dla $0 < E < V_0 \Rightarrow E - V_0 < 0$ rozwiązanie ma postać

$$w(x) = Fe^{\beta x} + Ge^{-\beta x}, \quad \beta = \frac{\sqrt{2m(V_0 - E)}}{\hbar}.$$

Warunki ciągłości funkcji falowej $u(x)$ i jej pochodnej $u'(x)$ w przypadku $E > V_0$ przybierają postać

Natomiast, dla $0 < E < V_0 \Rightarrow E - V_0 < 0$ rozwiązanie ma postać

$$w(x) = Fe^{\beta x} + Ge^{-\beta x}, \quad \beta = \frac{\sqrt{2m(V_0 - E)}}{\hbar}.$$

Warunki ciągłości funkcji falowej $u(x)$ i jej pochodnej $u'(x)$ w przypadku $E > V_0$ przybierają postać

$$u(0) = w(0)$$

Natomiast, dla $0 < E < V_0 \Rightarrow E - V_0 < 0$ rozwiązanie ma postać

$$w(x) = Fe^{\beta x} + Ge^{-\beta x}, \quad \beta = \frac{\sqrt{2m(V_0 - E)}}{\hbar}.$$

Warunki ciągłości funkcji falowej $u(x)$ i jej pochodnej $u'(x)$ w przypadku $E > V_0$ przybierają postać

$$u(0) = w(0) \Rightarrow$$

Natomiast, dla $0 < E < V_0 \Rightarrow E - V_0 < 0$ rozwiązanie ma postać

$$w(x) = Fe^{\beta x} + Ge^{-\beta x}, \quad \beta = \frac{\sqrt{2m(V_0 - E)}}{\hbar}.$$

Warunki ciągłości funkcji falowej $u(x)$ i jej pochodnej $u'(x)$ w przypadku $E > V_0$ przybierają postać

$$u(0) = w(0) \Rightarrow A + B = F + G,$$

Natomiast, dla $0 < E < V_0 \Rightarrow E - V_0 < 0$ rozwiązanie ma postać

$$w(x) = Fe^{\beta x} + Ge^{-\beta x}, \quad \beta = \frac{\sqrt{2m(V_0 - E)}}{\hbar}.$$

Warunki ciągłości funkcji falowej $u(x)$ i jej pochodnej $u'(x)$ w przypadku $E > V_0$ przybierają postać

$$\begin{aligned} u(0) = w(0) &\Rightarrow A + B = F + G, \\ w(a) = u(a) & \end{aligned}$$

Natomiast, dla $0 < E < V_0 \Rightarrow E - V_0 < 0$ rozwiązanie ma postać

$$w(x) = Fe^{\beta x} + Ge^{-\beta x}, \quad \beta = \frac{\sqrt{2m(V_0 - E)}}{\hbar}.$$

Warunki ciągłości funkcji falowej $u(x)$ i jej pochodnej $u'(x)$ w przypadku $E > V_0$ przybierają postać

$$u(0) = w(0) \quad \Rightarrow \quad A + B = F + G,$$

$$w(a) = u(a) \quad \Rightarrow$$

Natomiast, dla $0 < E < V_0 \Rightarrow E - V_0 < 0$ rozwiązanie ma postać

$$w(x) = Fe^{\beta x} + Ge^{-\beta x}, \quad \beta = \frac{\sqrt{2m(V_0 - E)}}{\hbar}.$$

Warunki ciągłości funkcji falowej $u(x)$ i jej pochodnej $u'(x)$ w przypadku $E > V_0$ przybierają postać

$$\begin{aligned} u(0) = w(0) &\Rightarrow A + B = F + G, \\ w(a) = u(a) &\Rightarrow Fe^{i\alpha a} + Ge^{-i\alpha a} = Ce^{ika}, \end{aligned}$$

Natomiast, dla $0 < E < V_0 \Rightarrow E - V_0 < 0$ rozwiązanie ma postać

$$w(x) = Fe^{\beta x} + Ge^{-\beta x}, \quad \beta = \frac{\sqrt{2m(V_0 - E)}}{\hbar}.$$

Warunki ciągłości funkcji falowej $u(x)$ i jej pochodnej $u'(x)$ w przypadku $E > V_0$ przybierają postać

$$u(0) = w(0) \quad \Rightarrow \quad A + B = F + G,$$

$$w(a) = u(a) \quad \Rightarrow \quad Fe^{i\alpha a} + Ge^{-i\alpha a} = Ce^{ika},$$

$$u'(0) = w'(0)$$

Natomiast, dla $0 < E < V_0 \Rightarrow E - V_0 < 0$ rozwiązanie ma postać

$$w(x) = Fe^{\beta x} + Ge^{-\beta x}, \quad \beta = \frac{\sqrt{2m(V_0 - E)}}{\hbar}.$$

Warunki ciągłości funkcji falowej $u(x)$ i jej pochodnej $u'(x)$ w przypadku $E > V_0$ przybierają postać

$$u(0) = w(0) \quad \Rightarrow \quad A + B = F + G,$$

$$w(a) = u(a) \quad \Rightarrow \quad Fe^{i\alpha a} + Ge^{-i\alpha a} = Ce^{ika},$$

$$u'(0) = w'(0) \quad \Rightarrow$$

Natomiast, dla $0 < E < V_0 \Rightarrow E - V_0 < 0$ rozwiązanie ma postać

$$w(x) = Fe^{\beta x} + Ge^{-\beta x}, \quad \beta = \frac{\sqrt{2m(V_0 - E)}}{\hbar}.$$

Warunki ciągłości funkcji falowej $u(x)$ i jej pochodnej $u'(x)$ w przypadku $E > V_0$ przybierają postać

$$\begin{aligned} u(0) = w(0) &\Rightarrow A + B = F + G, \\ w(a) = u(a) &\Rightarrow Fe^{i\alpha a} + Ge^{-i\alpha a} = Ce^{ika}, \\ u'(0) = w'(0) &\Rightarrow ik(A - B) = i\alpha(F - G), \end{aligned}$$

Natomiast, dla $0 < E < V_0 \Rightarrow E - V_0 < 0$ rozwiązanie ma postać

$$w(x) = Fe^{\beta x} + Ge^{-\beta x}, \quad \beta = \frac{\sqrt{2m(V_0 - E)}}{\hbar}.$$

Warunki ciągłości funkcji falowej $u(x)$ i jej pochodnej $u'(x)$ w przypadku $E > V_0$ przybierają postać

$$u(0) = w(0) \quad \Rightarrow \quad A + B = F + G,$$

$$w(a) = u(a) \quad \Rightarrow \quad Fe^{i\alpha a} + Ge^{-i\alpha a} = Ce^{ika},$$

$$u'(0) = w'(0) \quad \Rightarrow \quad ik(A - B) = i\alpha(F - G),$$

$$w'(a) = u'(a)$$

Natomiast, dla $0 < E < V_0 \Rightarrow E - V_0 < 0$ rozwiązanie ma postać

$$w(x) = Fe^{\beta x} + Ge^{-\beta x}, \quad \beta = \frac{\sqrt{2m(V_0 - E)}}{\hbar}.$$

Warunki ciągłości funkcji falowej $u(x)$ i jej pochodnej $u'(x)$ w przypadku $E > V_0$ przybierają postać

$$u(0) = w(0) \quad \Rightarrow \quad A + B = F + G,$$

$$w(a) = u(a) \quad \Rightarrow \quad Fe^{i\alpha a} + Ge^{-i\alpha a} = Ce^{ika},$$

$$u'(0) = w'(0) \quad \Rightarrow \quad ik(A - B) = i\alpha(F - G),$$

$$w'(a) = u'(a) \quad \Rightarrow$$

Natomiast, dla $0 < E < V_0 \Rightarrow E - V_0 < 0$ rozwiązanie ma postać

$$w(x) = Fe^{\beta x} + Ge^{-\beta x}, \quad \beta = \frac{\sqrt{2m(V_0 - E)}}{\hbar}.$$

Warunki ciągłości funkcji falowej $u(x)$ i jej pochodnej $u'(x)$ w przypadku $E > V_0$ przybierają postać

$$\begin{aligned} u(0) = w(0) &\Rightarrow A + B = F + G, \\ w(a) = u(a) &\Rightarrow Fe^{i\alpha a} + Ge^{-i\alpha a} = Ce^{ika}, \\ u'(0) = w'(0) &\Rightarrow ik(A - B) = i\alpha(F - G), \\ w'(a) = u'(a) &\Rightarrow i\alpha (Fe^{i\alpha a} - Ge^{-i\alpha a}) = ikCe^{ika}. \end{aligned}$$

Natomiast, dla $0 < E < V_0 \Rightarrow E - V_0 < 0$ rozwiązanie ma postać

$$w(x) = Fe^{\beta x} + Ge^{-\beta x}, \quad \beta = \frac{\sqrt{2m(V_0 - E)}}{\hbar}.$$

Warunki ciągłości funkcji falowej $u(x)$ i jej pochodnej $u'(x)$ w przypadku $E > V_0$ przybierają postać

$$\begin{aligned} u(0) = w(0) &\Rightarrow A + B = F + G, \\ w(a) = u(a) &\Rightarrow Fe^{i\alpha a} + Ge^{-i\alpha a} = Ce^{ika}, \\ u'(0) = w'(0) &\Rightarrow ik(A - B) = i\alpha(F - G), \\ w'(a) = u'(a) &\Rightarrow i\alpha(Fe^{i\alpha a} - Ge^{-i\alpha a}) = ikCe^{ika}. \end{aligned}$$

Zadanie. Pokazać, że stąd wynikają następujące związki dla stosunków amplitud

$$\frac{B}{A} = \frac{(k^2 - \alpha^2) (1 - e^{2i\alpha a})}{(k + \alpha)^2 - (k - \alpha)^2 e^{2i\alpha a}},$$
$$\frac{C}{A} = \frac{4k\alpha e^{i(\alpha-k)a}}{(k + \alpha)^2 - (k - \alpha)^2 e^{2i\alpha a}}$$

i dla współczynników odbicia i przejścia

$$\left| \frac{B}{A} \right|^2 = \left[1 + \frac{4k^2\alpha^2}{(k^2 - \alpha^2)^2 \sin^2 \alpha a} \right]^{-1} = \left[1 + \frac{4E(E - V_0)}{V_0^2 \sin^2 \alpha a} \right]^{-1}$$
$$\left| \frac{C}{A} \right|^2 = \left[1 + \frac{(k^2 - \alpha^2) \sin^2 \alpha a}{4k^2\alpha^2} \right]^{-1} = \left[1 + \frac{V_0^2 \sin^2 \alpha a}{4E(E - V_0)} \right]^{-1}.$$

Zadanie. Pokazać, że stąd wynikają następujące związki dla stosunków amplitud

$$\frac{B}{A} = \frac{(k^2 - \alpha^2) (1 - e^{2i\alpha a})}{(k + \alpha)^2 - (k - \alpha)^2 e^{2i\alpha a}},$$
$$\frac{C}{A} = \frac{4k\alpha e^{i(\alpha-k)a}}{(k + \alpha)^2 - (k - \alpha)^2 e^{2i\alpha a}}$$

i dla współczynników odbicia i przejścia

$$\left| \frac{B}{A} \right|^2 = \left[1 + \frac{4k^2\alpha^2}{(k^2 - \alpha^2)^2 \sin^2 \alpha a} \right]^{-1} = \left[1 + \frac{4E(E - V_0)}{V_0^2 \sin^2 \alpha a} \right]^{-1}$$
$$\left| \frac{C}{A} \right|^2 = \left[1 + \frac{(k^2 - \alpha^2) \sin^2 \alpha a}{4k^2\alpha^2} \right]^{-1} = \left[1 + \frac{V_0^2 \sin^2 \alpha a}{4E(E - V_0)} \right]^{-1}.$$

Zauważmy, że

$$\left| \frac{B}{A} \right|^2 + \left| \frac{C}{A} \right|^2 = 1.$$

Rzeczywiście, oznaczmy $x = \frac{4E(E-V_0)}{V_0^2 \sin^2 \alpha a}$, wtedy

$$\left| \frac{B}{A} \right|^2$$

Zauważmy, że

$$\left| \frac{B}{A} \right|^2 + \left| \frac{C}{A} \right|^2 = 1.$$

Rzeczywiście, oznaczmy $x = \frac{4E(E-V_0)}{V_0^2 \sin^2 \alpha a}$, wtedy

$$\left| \frac{B}{A} \right|^2 =$$

Zauważmy, że

$$\left| \frac{B}{A} \right|^2 + \left| \frac{C}{A} \right|^2 = 1.$$

Rzeczywiście, oznaczmy $x = \frac{4E(E-V_0)}{V_0^2 \sin^2 \alpha a}$, wtedy

$$\left| \frac{B}{A} \right|^2 = \left[1 + \frac{4E(E-V_0)}{V_0^2 \sin^2 \alpha a} \right]^{-1} =$$

Zauważmy, że

$$\left| \frac{B}{A} \right|^2 + \left| \frac{C}{A} \right|^2 = 1.$$

Rzeczywiście, oznaczmy $x = \frac{4E(E-V_0)}{V_0^2 \sin^2 \alpha a}$, wtedy

$$\left| \frac{B}{A} \right|^2 = \left[1 + \frac{4E(E-V_0)}{V_0^2 \sin^2 \alpha a} \right]^{-1} = \frac{1}{1+x}$$

Zauważmy, że

$$\left| \frac{B}{A} \right|^2 + \left| \frac{C}{A} \right|^2 = 1.$$

Rzeczywiście, oznaczmy $x = \frac{4E(E-V_0)}{V_0^2 \sin^2 \alpha a}$, wtedy

$$\left| \frac{B}{A} \right|^2 = \left[1 + \frac{4E(E-V_0)}{V_0^2 \sin^2 \alpha a} \right]^{-1} = \frac{1}{1+x}$$
$$\left| \frac{C}{A} \right|^2$$

Zauważmy, że

$$\left| \frac{B}{A} \right|^2 + \left| \frac{C}{A} \right|^2 = 1.$$

Rzeczywiście, oznaczmy $x = \frac{4E(E-V_0)}{V_0^2 \sin^2 \alpha a}$, wtedy

$$\left| \frac{B}{A} \right|^2 = \left[1 + \frac{4E(E-V_0)}{V_0^2 \sin^2 \alpha a} \right]^{-1} = \frac{1}{1+x}$$
$$\left| \frac{C}{A} \right|^2 =$$

Zauważmy, że

$$\left| \frac{B}{A} \right|^2 + \left| \frac{C}{A} \right|^2 = 1.$$

Rzeczywiście, oznaczmy $x = \frac{4E(E-V_0)}{V_0^2 \sin^2 \alpha a}$, wtedy

$$\left| \frac{B}{A} \right|^2 = \left[1 + \frac{4E(E-V_0)}{V_0^2 \sin^2 \alpha a} \right]^{-1} = \frac{1}{1+x}$$
$$\left| \frac{C}{A} \right|^2 = \left[1 + \frac{V_0^2 \sin^2 \alpha a}{4E(E-V_0)} \right]^{-1} =$$

Zauważmy, że

$$\left| \frac{B}{A} \right|^2 + \left| \frac{C}{A} \right|^2 = 1.$$

Rzeczywiście, oznaczmy $x = \frac{4E(E-V_0)}{V_0^2 \sin^2 \alpha a}$, wtedy

$$\left| \frac{B}{A} \right|^2 = \left[1 + \frac{4E(E-V_0)}{V_0^2 \sin^2 \alpha a} \right]^{-1} = \frac{1}{1+x}$$
$$\left| \frac{C}{A} \right|^2 = \left[1 + \frac{V_0^2 \sin^2 \alpha a}{4E(E-V_0)} \right]^{-1} = \frac{1}{1+\frac{1}{x}}$$

Zauważmy, że

$$\left| \frac{B}{A} \right|^2 + \left| \frac{C}{A} \right|^2 = 1.$$

Rzeczywiście, oznaczmy $x = \frac{4E(E-V_0)}{V_0^2 \sin^2 \alpha a}$, wtedy

$$\left| \frac{B}{A} \right|^2 = \left[1 + \frac{4E(E-V_0)}{V_0^2 \sin^2 \alpha a} \right]^{-1} = \frac{1}{1+x}$$

$$\left| \frac{C}{A} \right|^2 = \left[1 + \frac{V_0^2 \sin^2 \alpha a}{4E(E-V_0)} \right]^{-1} = \frac{1}{1+\frac{1}{x}}$$

$$\Rightarrow \left| \frac{B}{A} \right|^2$$

Zauważmy, że

$$\left| \frac{B}{A} \right|^2 + \left| \frac{C}{A} \right|^2 = 1.$$

Rzeczywiście, oznaczmy $x = \frac{4E(E-V_0)}{V_0^2 \sin^2 \alpha a}$, wtedy

$$\left| \frac{B}{A} \right|^2 = \left[1 + \frac{4E(E-V_0)}{V_0^2 \sin^2 \alpha a} \right]^{-1} = \frac{1}{1+x}$$

$$\left| \frac{C}{A} \right|^2 = \left[1 + \frac{V_0^2 \sin^2 \alpha a}{4E(E-V_0)} \right]^{-1} = \frac{1}{1+\frac{1}{x}}$$

$$\Rightarrow \left| \frac{B}{A} \right|^2 +$$

Zauważmy, że

$$\left| \frac{B}{A} \right|^2 + \left| \frac{C}{A} \right|^2 = 1.$$

Rzeczywiście, oznaczmy $x = \frac{4E(E-V_0)}{V_0^2 \sin^2 \alpha a}$, wtedy

$$\left| \frac{B}{A} \right|^2 = \left[1 + \frac{4E(E-V_0)}{V_0^2 \sin^2 \alpha a} \right]^{-1} = \frac{1}{1+x}$$

$$\left| \frac{C}{A} \right|^2 = \left[1 + \frac{V_0^2 \sin^2 \alpha a}{4E(E-V_0)} \right]^{-1} = \frac{1}{1+\frac{1}{x}}$$

$$\Rightarrow \left| \frac{B}{A} \right|^2 + \left| \frac{C}{A} \right|^2 =$$

Zauważmy, że

$$\left| \frac{B}{A} \right|^2 + \left| \frac{C}{A} \right|^2 = 1.$$

Rzeczywiście, oznaczmy $x = \frac{4E(E-V_0)}{V_0^2 \sin^2 \alpha a}$, wtedy

$$\left| \frac{B}{A} \right|^2 = \left[1 + \frac{4E(E-V_0)}{V_0^2 \sin^2 \alpha a} \right]^{-1} = \frac{1}{1+x}$$

$$\left| \frac{C}{A} \right|^2 = \left[1 + \frac{V_0^2 \sin^2 \alpha a}{4E(E-V_0)} \right]^{-1} = \frac{1}{1+\frac{1}{x}}$$

$$\Rightarrow \left| \frac{B}{A} \right|^2 + \left| \frac{C}{A} \right|^2 = \frac{1}{1+x} + \frac{1}{1+\frac{1}{x}} =$$

Zauważmy, że

$$\left| \frac{B}{A} \right|^2 + \left| \frac{C}{A} \right|^2 = 1.$$

Rzeczywiście, oznaczmy $x = \frac{4E(E-V_0)}{V_0^2 \sin^2 \alpha a}$, wtedy

$$\left| \frac{B}{A} \right|^2 = \left[1 + \frac{4E(E-V_0)}{V_0^2 \sin^2 \alpha a} \right]^{-1} = \frac{1}{1+x}$$

$$\left| \frac{C}{A} \right|^2 = \left[1 + \frac{V_0^2 \sin^2 \alpha a}{4E(E-V_0)} \right]^{-1} = \frac{1}{1+\frac{1}{x}}$$

$$\Rightarrow \left| \frac{B}{A} \right|^2 + \left| \frac{C}{A} \right|^2 = \frac{1}{1+x} + \frac{1}{1+\frac{1}{x}} = \frac{1}{1+x} + \frac{x}{x+1} =$$

Zauważmy, że

$$\left| \frac{B}{A} \right|^2 + \left| \frac{C}{A} \right|^2 = 1.$$

Rzeczywiście, oznaczmy $x = \frac{4E(E-V_0)}{V_0^2 \sin^2 \alpha a}$, wtedy

$$\left| \frac{B}{A} \right|^2 = \left[1 + \frac{4E(E-V_0)}{V_0^2 \sin^2 \alpha a} \right]^{-1} = \frac{1}{1+x}$$

$$\left| \frac{C}{A} \right|^2 = \left[1 + \frac{V_0^2 \sin^2 \alpha a}{4E(E-V_0)} \right]^{-1} = \frac{1}{1+\frac{1}{x}}$$

$$\Rightarrow \left| \frac{B}{A} \right|^2 + \left| \frac{C}{A} \right|^2 = \frac{1}{1+x} + \frac{1}{1+\frac{1}{x}} = \frac{1}{1+x} + \frac{x}{x+1} = 1.$$

Zauważmy, że

$$\left| \frac{B}{A} \right|^2 + \left| \frac{C}{A} \right|^2 = 1.$$

Rzeczywiście, oznaczmy $x = \frac{4E(E-V_0)}{V_0^2 \sin^2 \alpha a}$, wtedy

$$\left| \frac{B}{A} \right|^2 = \left[1 + \frac{4E(E-V_0)}{V_0^2 \sin^2 \alpha a} \right]^{-1} = \frac{1}{1+x}$$

$$\left| \frac{C}{A} \right|^2 = \left[1 + \frac{V_0^2 \sin^2 \alpha a}{4E(E-V_0)} \right]^{-1} = \frac{1}{1+\frac{1}{x}}$$

$$\Rightarrow \left| \frac{B}{A} \right|^2 + \left| \frac{C}{A} \right|^2 = \frac{1}{1+x} + \frac{1}{1+\frac{1}{x}} = \frac{1}{1+x} + \frac{x}{x+1} = 1.$$

Zadanie. Pokazać, że jeśli $E \rightarrow V_0$, to

$$\left| \frac{C}{A} \right|^2 \rightarrow \left(1 + \frac{mV_0 a^2}{2\hbar^2} \right)^{-1},$$

natomiast dla $E < V_0$ otrzymamy

$$\left| \frac{C}{A} \right|^2 = \left[1 + \frac{V_0^2 \sinh^2 \beta a}{4E(V_0 - E)} \right]^{-1}.$$

Zadanie. Pokazać, że jeśli $E \rightarrow V_0$, to

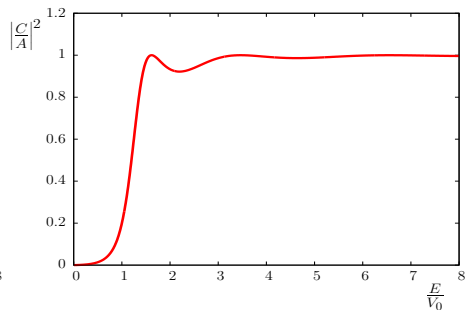
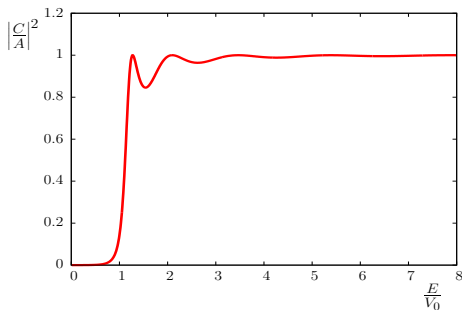
$$\left| \frac{C}{A} \right|^2 \rightarrow \left(1 + \frac{mV_0 a^2}{2\hbar^2} \right)^{-1},$$

natomiast dla $E < V_0$ otrzymamy

$$\left| \frac{C}{A} \right|^2 = \left[1 + \frac{V_0^2 \sinh^2 \beta a}{4E(V_0 - E)} \right]^{-1}.$$

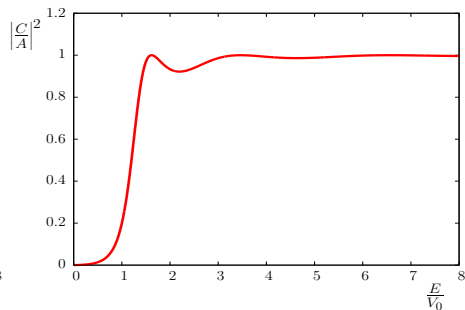
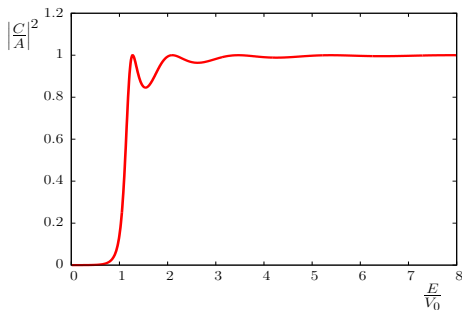
Rozpraszanie na prostokątnej barierze potencjału

Współczynnik przejścia przez barierę dla $\frac{mV_0a^2}{\hbar^2} = 18$ i $\frac{mV_0a^2}{\hbar^2} = 8$.



Rozpraszanie na prostokątnej barierze potencjału

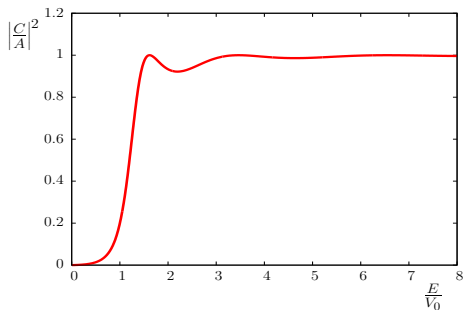
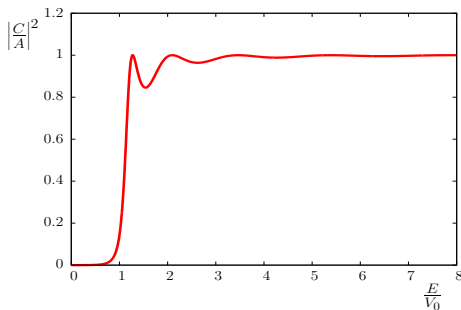
Współczynnik przejścia przez barierę dla $\frac{mV_0a^2}{\hbar^2} = 18$ i $\frac{mV_0a^2}{\hbar^2} = 8$.



Widzimy, że współczynnik przejścia jest niezerowy nawet jeśli $E < V_0$.

Rozpraszanie na prostokątnej barierze potencjału

Współczynnik przejścia przez barierę dla $\frac{mV_0a^2}{\hbar^2} = 18$ i $\frac{mV_0a^2}{\hbar^2} = 8$.

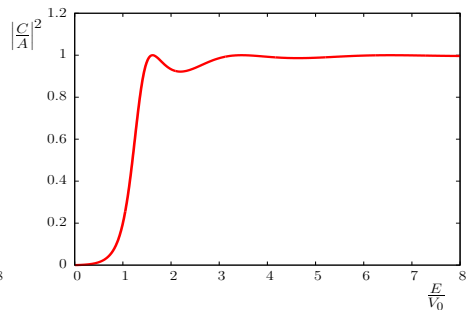
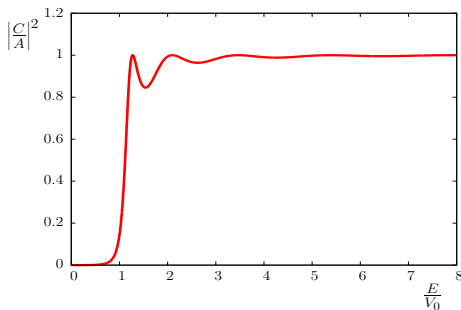


Widzimy, że współczynnik przejścia jest niezerowy nawet jeśli $E < V_0$.

Mamy wtedy do czynienia z tzw. tunelowaniem cząstki przez barierę potencjału.

Rozpraszanie na prostokątnej barierze potencjału

Współczynnik przejścia przez barierę dla $\frac{mV_0a^2}{\hbar^2} = 18$ i $\frac{mV_0a^2}{\hbar^2} = 8$.



Widzimy, że współczynnik przejścia jest niezerowy nawet jeśli $E < V_0$.

Mamy wtedy do czynienia z tzw. tunelowaniem cząstki przez barierę potencjału.

Zjawisko tunelowania nie ma analogu w fizyce klasycznej.
Natomiast w fizyce kwantowej jest dość powszechne.

Zjawisko tunelowania nie ma analogu w fizyce klasycznej.
Natomiast w fizyce kwantowej jest dość powszechne. Np. rozpady α jąder atomowych są możliwe tylko dzięki zjawisku tunelowania.

Zjawisko tunelowania nie ma analogu w fizyce klasycznej.
Natomiast w fizyce kwantowej jest dość powszechne. Np. rozpady α jąder atomowych są możliwe tylko dzięki zjawisku tunelowania.
Jeżeli współczynnik przejścia jest równy 1, to przejście przez barierę jest idealne.

Zjawisko tunelowania nie ma analogu w fizyce klasycznej. Natomiast w fizyce kwantowej jest dość powszechne. Np. rozpady α jąder atomowych są możliwe tylko dzięki zjawisku tunelowania. Jeżeli współczynnik przejścia jest równy 1, to przejście przez barierę jest idealne.

Przyrównajmy do 1 współczynnik przejścia dla $E > V_0$

$$\left| \frac{C}{A} \right|^2 = \left[1 + \frac{V_0^2 \sin^2 \alpha a}{4E(E - V_0)} \right]^{-1} = 1.$$

Zjawisko tunelowania nie ma analogu w fizyce klasycznej. Natomiast w fizyce kwantowej jest dość powszechne. Np. rozpady α jąder atomowych są możliwe tylko dzięki zjawisku tunelowania. Jeżeli współczynnik przejścia jest równy 1, to przejście przez barierę jest idealne. Przyrównajmy do 1 współczynnik przejścia dla $E > V_0$

$$\left| \frac{C}{A} \right|^2 = \left[1 + \frac{V_0^2 \sin^2 \alpha a}{4E(E - V_0)} \right]^{-1} = 1.$$

Równość ta jest spełniona dla $\alpha a = \pi, 2\pi, \dots$

Zjawisko tunelowania nie ma analogu w fizyce klasycznej. Natomiast w fizyce kwantowej jest dość powszechne. Np. rozpady α jąder atomowych są możliwe tylko dzięki zjawisku tunelowania. Jeżeli współczynnik przejścia jest równy 1, to przejście przez barierę jest idealne.

Przyrównajmy do 1 współczynnik przejścia dla $E > V_0$

$$\left| \frac{C}{A} \right|^2 = \left[1 + \frac{V_0^2 \sin^2 \alpha a}{4E(E - V_0)} \right]^{-1} = 1.$$

Równość ta jest spełniona dla $\alpha a = \pi, 2\pi, \dots$

Przypadek stacjonarnego rozpraszania w trzech wymiarach jest bardziej skomplikowany.

Założmy, że cząstka o określonym pędzie, równoległym do osi Oz ,

Przypadek stacjonarnego rozpraszania w trzech wymiarach jest bardziej skomplikowany.

Założmy, że cząstka o określonym pędzie, równoległym do osi Oz ,
 $\vec{p} = \hbar\vec{k} = [0, 0, \hbar k]$,

Przypadek stacjonarnego rozpraszania w trzech wymiarach jest bardziej skomplikowany.

Założmy, że cząstka o określonym pędzie, równoległym do osi Oz , $\vec{p} = \hbar\vec{k} = [0, 0, \hbar k]$, rozprasza się na stacjonarnym centrum rozproszeniowym reprezentowanym przez potencjał $V(\vec{r})$.

Przypadek stacjonarnego rozpraszania w trzech wymiarach jest bardziej skomplikowany.

Założmy, że cząstka o określonym pędzie, równoległym do osi Oz , $\vec{p} = \hbar\vec{k} = [0, 0, \hbar k]$, rozprasza się na stacjonarnym centrum rozproszeniowym reprezentowanym przez potencjał $V(\vec{r})$.

Wtedy dla $r \rightarrow \infty$ otrzymamy asymptotyczne rozwiązanie bezczasowego równania Schrödingera

$$-\frac{\hbar^2}{2m} \nabla^2 u(\vec{r}) + V(\vec{r}) u(\vec{r}) = Eu(\vec{r})$$

Przypadek stacjonarnego rozpraszania w trzech wymiarach jest bardziej skomplikowany.

Założmy, że cząstka o określonym pędzie, równoległym do osi Oz , $\vec{p} = \hbar\vec{k} = [0, 0, \hbar k]$, rozprasza się na stacjonarnym centrum rozproszeniowym reprezentowanym przez potencjał $V(\vec{r})$.

Wtedy dla $r \rightarrow \infty$ otrzymamy asymptotyczne rozwiązanie bezczasowego równania Schrödingera

$$-\frac{\hbar^2}{2m} \nabla^2 u(\vec{r}) + V(\vec{r}) u(\vec{r}) = Eu(\vec{r})$$

następującej postaci

$$u(\vec{r}) = u(r, \theta, \varphi)$$

następującej postaci

$$u(\vec{r}) = u(r, \theta, \varphi) = A \left[e^{ikz} + \frac{f(\theta, \varphi)}{r} e^{ikr} \right],$$

następującej postaci

$$u(\vec{r}) = u(r, \theta, \varphi) = A \left[e^{ikz} + \frac{f(\theta, \varphi)}{r} e^{ikr} \right],$$

gdzie pierwszy wyraz po prawej stronie reprezentuje falę padającą,

następującej postaci

$$u(\vec{r}) = u(r, \theta, \varphi) = A \left[e^{ikz} + \frac{f(\theta, \varphi)}{r} e^{ikr} \right],$$

gdzie pierwszy wyraz po prawej stronie reprezentuje falę padającą, a drugi – falę rozproszoną – odbiegającą radialnie do nieskończoności,

następującej postaci

$$u(\vec{r}) = u(r, \theta, \varphi) = A \left[e^{ikz} + \frac{f(\theta, \varphi)}{r} e^{ikr} \right],$$

gdzie pierwszy wyraz po prawej stronie reprezentuje falę padającą, a drugi – falę rozproszoną – odbiegającą radialnie do nieskończoności, której amplituda $Af(\theta, \varphi)$ jest dowolną funkcją zmiennych kątowych.

następującej postaci

$$u(\vec{r}) = u(r, \theta, \varphi) = A \left[e^{ikz} + \frac{f(\theta, \varphi)}{r} e^{ikr} \right],$$

gdzie pierwszy wyraz po prawej stronie reprezentuje falę padającą, a drugi – falę rozproszoną – odbiegającą radialnie do nieskończoności, której amplituda $Af(\theta, \varphi)$ jest dowolną funkcją zmiennych kątowych.

Czynnik $\sim \frac{1}{r}$ pojawia się, gdyż strumień cząstek rozproszonych musi maleć z kwadratem odległości od centrum rozproszenia.

następującej postaci

$$u(\vec{r}) = u(r, \theta, \varphi) = A \left[e^{ikz} + \frac{f(\theta, \varphi)}{r} e^{ikr} \right],$$

gdzie pierwszy wyraz po prawej stronie reprezentuje falę padającą, a drugi – falę rozproszoną – odbiegającą radialnie do nieskończoności, której amplituda $Af(\theta, \varphi)$ jest dowolną funkcją zmiennych kątowych.

Czynnik $\sim \frac{1}{r}$ pojawia się, gdyż strumień cząstek rozproszonych musi maleć z kwadratem odległości od centrum rozproszenia.

Zauważmy, że funkcja $f(\theta, \varphi)$ ma wymiar długości.

następującej postaci

$$u(\vec{r}) = u(r, \theta, \varphi) = A \left[e^{ikz} + \frac{f(\theta, \varphi)}{r} e^{ikr} \right],$$

gdzie pierwszy wyraz po prawej stronie reprezentuje falę padającą, a drugi – falę rozproszoną – odbiegającą radialnie do nieskończoności, której amplituda $Af(\theta, \varphi)$ jest dowolną funkcją zmiennych kątowych.

Czynnik $\sim \frac{1}{r}$ pojawia się, gdyż strumień cząstek rozproszonych musi maleć z kwadratem odległości od centrum rozproszenia. Zauważmy, że funkcja $f(\theta, \varphi)$ ma wymiar długości.

Zadanie. Korzystając z powyższej postaci asymptotycznej funkcji $u(r, \theta, \varphi)$ pokazać, że wiodący przy $r \rightarrow \infty$ wyraz w strumieniu cząstek rozproszonych ma postać

$$\frac{v|A|^2 |f(\theta, \varphi)|^2}{r^2}, \quad \text{gdzie} \quad v = \frac{\hbar k}{m}.$$

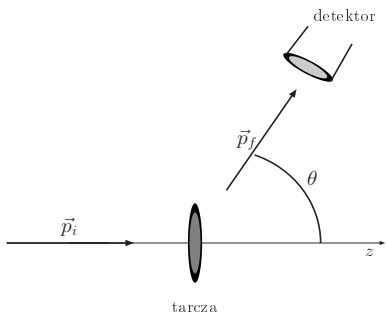
Podstawową wielkością mierzoną w procesach rozpraszania jest **przekrój czynny**.

Rozważmy wiązkę cząstek padających na tarczę, którą w opisie teoretycznym reprezentujemy przez potencjał rozpraszający $V(\vec{r})$.

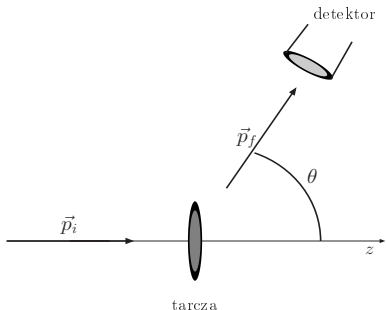
Podstawową wielkością mierzoną w procesach rozpraszania jest [przekrój czynny](#).

Rozważmy wiązkę cząstek padających na tarczę, którą w opisie teoretycznym reprezentujemy przez potencjał rozpraszający $V(\vec{r})$.

Przekrój czynny

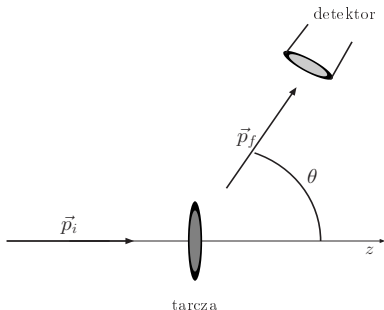


Zakładamy, że każda cząstka ma dobrze określony pęd początkowy \vec{p}_i , skierowany wzdłuż osi Oz .



Zakładamy, że każda cząstka ma dobrze określony pęd początkowy \vec{p}_i , skierowany wzdłuż osi Oz .

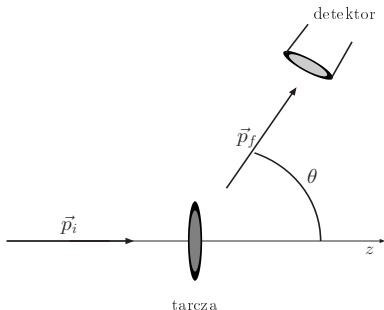
Pod wpływem oddziaływania z tarczą pęd cząstki ulega zmianie.



Zakładamy, że każda cząstka ma dobrze określony pęd początkowy \vec{p}_i , skierowany wzdłuż osi Oz .

Pod wpływem oddziaływania z tarczą pęd cząstki ulega zmianie.

Cząstka rozproszona zostanie zarejestrowana w detektorze, jeśli jej pęd będzie bliski \vec{p}_f .



Zakładamy, że każda cząstka ma dobrze określony pęd początkowy \vec{p}_i , skierowany wzdłuż osi Oz .

Pod wpływem oddziaływania z tarczą pęd cząstki ulega zmianie.

Cząstka rozproszona zostanie zarejestrowana w detektorze, jeśli jej pęd będzie bliski \vec{p}_f .

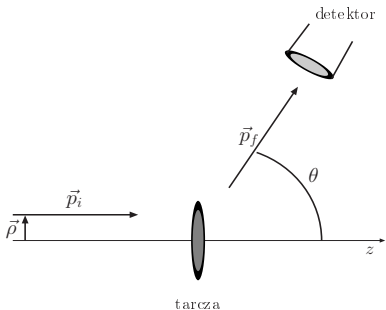
Cząstki wiązki padającej są niezależne, tzn. nie oddziałują ze sobą.

Cząstki wiązki padającej są niezależne, tzn. nie oddziałują ze sobą. Ponadto nie jesteśmy w stanie odróżnić cząstek o pędzie przesuniętym równoległe o dowolny wektor $\vec{\rho}$ prostopadły do osi Oz ,

Cząstki wiązki padającej są niezależne, tzn. nie oddziałują ze sobą. Ponadto nie jesteśmy w stanie odróżnić cząstek o pędzie przesuniętym równoległe o dowolny wektor $\vec{\rho}$ prostopadły do osi Oz , nazywany zwykle parametrem zderzenia.

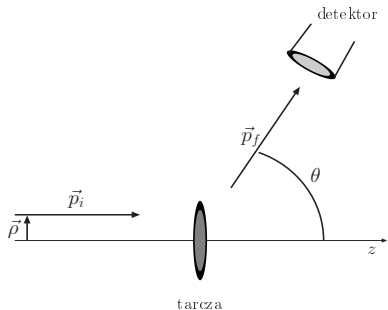
Przekrój czynny

Cząstki wiązki padającej są niezależne, tzn. nie oddziałują ze sobą. Ponadto nie jesteśmy w stanie odróżnić cząstek o pędzie przesuniętym równoległe o dowolny wektor $\vec{\rho}$ prostopadły do osi Oz , nazywany zwykle **parametrem zderzenia**.



Przekrój czynny

Cząstki wiązki padającej są niezależne, tzn. nie oddziałują ze sobą. Ponadto nie jesteśmy w stanie odróżnić cząstek o pędzie przesuniętym równoległe o dowolny wektor $\vec{\rho}$ prostopadły do osi Oz , nazywany zwykle **parametrem zderzenia**.



Dlatego liczba cząstek N_D zarejestrowanych w detektorze będzie proporcjonalna do strumienia cząstek n przechodzącego przez powierzchnię prostopadłą do wektora \vec{p}_i

$$N_D = \sigma(\Delta\Omega)n.$$

Dlatego liczba cząstek N_D zarejestrowanych w detektorze będzie proporcjonalna do strumienia cząstek n przechodzącego przez powierzchnię prostopadłą do wektora \vec{p}_i

$$N_D = \sigma(\Delta\Omega)n.$$

Współczynnik proporcjonalności $\sigma(\Delta\Omega)$ określający prawdopodobieństwo rozproszenia cząstki do elementu kąta bryłowego $\Delta\Omega$ pokrywanego przez detektor nazywamy różniczkowym przekrojem czynnym.

Dlatego liczba cząstek N_D zarejestrowanych w detektorze będzie proporcjonalna do strumienia cząstek n przechodzącego przez powierzchnię prostopadłą do wektora \vec{p}_i

$$N_D = \sigma(\Delta\Omega)n.$$

Współczynnik proporcjonalności $\sigma(\Delta\Omega)$ określający prawdopodobieństwo rozproszenia cząstki do elementu kąta bryłowego $\Delta\Omega$ pokrywanego przez detektor nazywamy różniczkowym przekrojem czynnym.

Często piszemy

$$\sigma(\Delta\Omega) \equiv \frac{d\sigma(\Omega)}{d\Omega} d\Omega,$$

Dlatego liczba cząstek N_D zarejestrowanych w detektorze będzie proporcjonalna do strumienia cząstek n przechodzącego przez powierzchnię prostopadłą do wektora \vec{p}_i

$$N_D = \sigma(\Delta\Omega)n.$$

Współczynnik proporcjonalności $\sigma(\Delta\Omega)$ określający prawdopodobieństwo rozproszenia cząstki do elementu kąta bryłowego $\Delta\Omega$ pokrywanego przez detektor nazywamy różniczkowym przekrojem czynnym.

Często piszemy

$$\sigma(\Delta\Omega) \equiv \frac{d\sigma(\Omega)}{d\Omega} d\Omega,$$

gdzie $\frac{d\sigma}{d\Omega}$ jest różniczkowym przekrojem czynnym

Dlatego liczba cząstek N_D zarejestrowanych w detektorze będzie proporcjonalna do strumienia cząstek n przechodzącego przez powierzchnię prostopadłą do wektora \vec{p}_i

$$N_D = \sigma(\Delta\Omega)n.$$

Współczynnik proporcjonalności $\sigma(\Delta\Omega)$ określający prawdopodobieństwo rozproszenia cząstki do elementu kąta bryłowego $\Delta\Omega$ pokrywanego przez detektor nazywamy różniczkowym przekrojem czynnym.

Często piszemy

$$\sigma(\Delta\Omega) \equiv \frac{d\sigma(\Omega)}{d\Omega} d\Omega,$$

gdzie $\frac{d\sigma}{d\Omega}$ jest różniczkowym przekrojem czynnym

określającym gęstość prawdopodobieństwa rozproszenia cząstki do kąta bryłowego zawartego w przedziale $(\Omega, \Omega + d\Omega)$ w pojedynczym akcie zderzenia.

Przeanalizujmy wymiary we wzorze $N_D = \sigma(\Delta\Omega)n$.

określającym gęstość prawdopodobieństwa rozproszenia cząstki do kąta bryłowego zawartego w przedziale $(\Omega, \Omega + d\Omega)$ w pojedynczym akcie zderzenia.

Przeanalizujmy wymiary we wzorze $N_D = \sigma(\Delta\Omega)n$.

N_D jest bezwymiarowe,

określającym gęstość prawdopodobieństwa rozproszenia cząstki do kąta bryłowego zawartego w przedziale $(\Omega, \Omega + d\Omega)$ w **pojedynczym akcie zderzenia**.

Przeanalizujmy wymiary we wzorze $N_D = \sigma(\Delta\Omega)n$.

N_D jest bezwymiarowe, a strumień cząstek padających ma wymiar

$$[n] = \frac{1}{\text{powierzchnia}}$$

określającym gęstość prawdopodobieństwa rozproszenia cząstki do kąta bryłowego zawartego w przedziale $(\Omega, \Omega + d\Omega)$ w pojedynczym akcie zderzenia.

Przeanalizujmy wymiary we wzorze $N_D = \sigma(\Delta\Omega)n$.

N_D jest bezwymiarowe, a strumień cząstek padających ma wymiar

$$[n] = \frac{1}{\text{powierzchnia}} \Rightarrow [\sigma] = \text{powierzchnia.}$$

określającym gęstość prawdopodobieństwa rozproszenia cząstki do kąta bryłowego zawartego w przedziale $(\Omega, \Omega + d\Omega)$ w **pojedynczym akcie zderzenia**.

Przeanalizujmy wymiary we wzorze $N_D = \sigma(\Delta\Omega)n$.

N_D jest bezwymiarowe, a strumień cząstek padających ma wymiar

$$[n] = \frac{1}{\text{powierzchnia}} \Rightarrow [\sigma] = \text{powierzchnia}.$$

Widzimy, że **przekrój czynny** ma wymiar powierzchni.

Przekrój czynny

określającym gęstość prawdopodobieństwa rozproszenia cząstki do kąta bryłowego zawartego w przedziale $(\Omega, \Omega + d\Omega)$ w pojedynczym akcie zderzenia.

Przeanalizujmy wymiary we wzorze $N_D = \sigma(\Delta\Omega)n$.

N_D jest bezwymiarowe, a strumień cząstek padających ma wymiar

$$[n] = \frac{1}{\text{powierzchnia}} \Rightarrow [\sigma] = \text{powierzchnia}.$$

Widzimy, że przekrój czynny ma wymiar powierzchni.

Jednostką przekroju czynnego jest 1 barn, w skrócie piszemy 1 b.

Przekrój czynny

określającym gęstość prawdopodobieństwa rozproszenia cząstki do kąta bryłowego zawartego w przedziale $(\Omega, \Omega + d\Omega)$ w **pojedynczym akcie zderzenia**.

Przeanalizujmy wymiary we wzorze $N_D = \sigma(\Delta\Omega)n$.

N_D jest bezwymiarowe, a strumień cząstek padających ma wymiar

$$[n] = \frac{1}{\text{powierzchnia}} \Rightarrow [\sigma] = \text{powierzchnia.}$$

Widzimy, że **przekrój czynny ma wymiar powierzchni**.

Jednostką przekroju czynnego jest **1 barn**, w skrócie piszemy **1 b**.

$$1 \text{ b} = 10^{-24} \text{ cm}^2$$

Przekrój czynny

określającym gęstość prawdopodobieństwa rozproszenia cząstki do kąta bryłowego zawartego w przedziale $(\Omega, \Omega + d\Omega)$ w **pojedynczym akcie zderzenia**.

Przeanalizujmy wymiary we wzorze $N_D = \sigma(\Delta\Omega)n$.

N_D jest bezwymiarowe, a strumień cząstek padających ma wymiar

$$[n] = \frac{1}{\text{powierzchnia}} \Rightarrow [\sigma] = \text{powierzchnia}.$$

Widzimy, że **przekrój czynny ma wymiar powierzchni**.

Jednostką przekroju czynnego jest **1 barn**, w skrócie piszemy **1 b**.

$$1 \text{ b} = 10^{-24} \text{ cm}^2 = 10^{-28} \text{ m}^2.$$

Przekrój czynny

określającym gęstość prawdopodobieństwa rozproszenia cząstki do kąta bryłowego zawartego w przedziale $(\Omega, \Omega + d\Omega)$ w **pojedynczym akcie zderzenia**.

Przeanalizujmy wymiary we wzorze $N_D = \sigma(\Delta\Omega)n$.

N_D jest bezwymiarowe, a strumień cząstek padających ma wymiar

$$[n] = \frac{1}{\text{powierzchnia}} \Rightarrow [\sigma] = \text{powierzchnia}.$$

Widzimy, że **przekrój czynny ma wymiar powierzchni**.

Jednostką przekroju czynnego jest **1 barn**, w skrócie piszemy **1 b**.

$$1 \text{ b} = 10^{-24} \text{ cm}^2 = 10^{-28} \text{ m}^2.$$

W praktyce stosuje się jednak podwielokrotności tej jednostki

$$1 \text{ mb} = 10^{-3} \text{ b},$$

W praktyce stosuje się jednak podwielokrotności tej jednostki

$$1 \text{ mb} = 10^{-3} \text{ b},$$
$$1 \mu\text{b}$$

W praktyce stosuje się jednak podwielokrotności tej jednostki

$$1 \text{ mb} = 10^{-3} \text{ b},$$

$$1 \mu\text{b} =$$

W praktyce stosuje się jednak podwielokrotności tej jednostki

$$1 \text{ mb} = 10^{-3} \text{ b},$$

$$1 \mu\text{b} = 10^{-6} \text{ b},$$

W praktyce stosuje się jednak podwielokrotności tej jednostki

$$1 \text{ mb} = 10^{-3} \text{ b},$$

$$1 \mu\text{b} = 10^{-6} \text{ b},$$

$$1 \text{ nb}$$

W praktyce stosuje się jednak podwielokrotności tej jednostki

$$1 \text{ mb} = 10^{-3} \text{ b},$$

$$1 \mu\text{b} = 10^{-6} \text{ b},$$

$$1 \text{ nb} =$$

W praktyce stosuje się jednak podwielokrotności tej jednostki

$$1 \text{ mb} = 10^{-3} \text{ b},$$

$$1 \mu\text{b} = 10^{-6} \text{ b},$$

$$1 \text{ nb} = 10^{-9} \text{ b},$$

W praktyce stosuje się jednak podwielokrotności tej jednostki

$$1 \text{ mb} = 10^{-3} \text{ b},$$

$$1 \mu\text{b} = 10^{-6} \text{ b},$$

$$1 \text{ nb} = 10^{-9} \text{ b},$$

$$1 \text{ pb}$$

W praktyce stosuje się jednak podwielokrotności tej jednostki

$$1 \text{ mb} = 10^{-3} \text{ b},$$

$$1 \mu\text{b} = 10^{-6} \text{ b},$$

$$1 \text{ nb} = 10^{-9} \text{ b},$$

$$1 \text{ pb} =$$

W praktyce stosuje się jednak podwielokrotności tej jednostki

$$1 \text{ mb} = 10^{-3} \text{ b},$$

$$1 \mu\text{b} = 10^{-6} \text{ b},$$

$$1 \text{ nb} = 10^{-9} \text{ b},$$

$$1 \text{ pb} = 10^{-12} \text{ b},$$

W praktyce stosuje się jednak podwielokrotności tej jednostki

$$1 \text{ mb} = 10^{-3} \text{ b},$$

$$1 \mu\text{b} = 10^{-6} \text{ b},$$

$$1 \text{ nb} = 10^{-9} \text{ b},$$

$$1 \text{ pb} = 10^{-12} \text{ b},$$

$$1 \text{ fb}$$

W praktyce stosuje się jednak podwielokrotności tej jednostki

$$1 \text{ mb} = 10^{-3} \text{ b},$$

$$1 \mu\text{b} = 10^{-6} \text{ b},$$

$$1 \text{ nb} = 10^{-9} \text{ b},$$

$$1 \text{ pb} = 10^{-12} \text{ b},$$

$$1 \text{ fb} =$$

W praktyce stosuje się jednak podwielokrotności tej jednostki

$$1 \text{ mb} = 10^{-3} \text{ b},$$

$$1 \mu\text{b} = 10^{-6} \text{ b},$$

$$1 \text{ nb} = 10^{-9} \text{ b},$$

$$1 \text{ pb} = 10^{-12} \text{ b},$$

$$1 \text{ fb} = 10^{-15} \text{ b}.$$

W praktyce stosuje się jednak podwielokrotności tej jednostki

$$1 \text{ mb} = 10^{-3} \text{ b},$$

$$1 \mu\text{b} = 10^{-6} \text{ b},$$

$$1 \text{ nb} = 10^{-9} \text{ b},$$

$$1 \text{ pb} = 10^{-12} \text{ b},$$

$$1 \text{ fb} = 10^{-15} \text{ b}.$$

Całkowity przekrój czynny

$$\begin{aligned}\sigma &= \int_0^{4\pi} \frac{d\sigma(\Omega)}{d\Omega} d\Omega = \int_0^{\pi} \sin\theta d\theta \int_0^{2\pi} d\varphi \frac{d^2\sigma(\Omega)}{d\theta d\varphi} \\ &= \int_{-1}^1 d\cos\theta \int_0^{2\pi} d\varphi \frac{d^2\sigma(\Omega)}{d\cos\theta d\varphi}\end{aligned}$$

Całkowity przekrój czynny

$$\begin{aligned}\sigma &= \int_0^{4\pi} \frac{d\sigma(\Omega)}{d\Omega} d\Omega = \int_0^{\pi} \sin\theta d\theta \int_0^{2\pi} d\varphi \frac{d^2\sigma(\Omega)}{d\theta d\varphi} \\ &= \int_{-1}^1 d\cos\theta \int_0^{2\pi} d\varphi \frac{d^2\sigma(\Omega)}{d\cos\theta d\varphi}\end{aligned}$$

określa prawdopodobieństwo rozproszenia cząstki na tarczy,

Całkowity przekrój czynny

$$\begin{aligned}\sigma &= \int_0^{4\pi} \frac{d\sigma(\Omega)}{d\Omega} d\Omega = \int_0^{\pi} \sin\theta d\theta \int_0^{2\pi} d\varphi \frac{d^2\sigma(\Omega)}{d\theta d\varphi} \\ &= \int_{-1}^1 d\cos\theta \int_0^{2\pi} d\varphi \frac{d^2\sigma(\Omega)}{d\cos\theta d\varphi}\end{aligned}$$

określa prawdopodobieństwo rozproszenia cząstki na tarczy, która sama na ogół jest cząstką.

Całkowity przekrój czynny

$$\begin{aligned}\sigma &= \int_0^{4\pi} \frac{d\sigma(\Omega)}{d\Omega} d\Omega = \int_0^\pi \sin\theta d\theta \int_0^{2\pi} d\varphi \frac{d^2\sigma(\Omega)}{d\theta d\varphi} \\ &= \int_{-1}^1 d\cos\theta \int_0^{2\pi} d\varphi \frac{d^2\sigma(\Omega)}{d\cos\theta d\varphi}\end{aligned}$$

określa prawdopodobieństwo rozproszenia cząstki na tarczy, która sama na ogół jest cząstką.

W przypadku klasycznym, gdy cząstki traktujemy jako korpusekły, **całkowity przekrój czynny** jest po prostu powierzchnią tarczy prostopadłą do kierunku padających cząstek,

Całkowity przekrój czynny

$$\begin{aligned}\sigma &= \int_0^{4\pi} \frac{d\sigma(\Omega)}{d\Omega} d\Omega = \int_0^{\pi} \sin\theta d\theta \int_0^{2\pi} d\varphi \frac{d^2\sigma(\Omega)}{d\theta d\varphi} \\ &= \int_{-1}^1 d\cos\theta \int_0^{2\pi} d\varphi \frac{d^2\sigma(\Omega)}{d\cos\theta d\varphi}\end{aligned}$$

określa prawdopodobieństwo rozproszenia cząstki na tarczy, która sama na ogół jest cząstką.

W przypadku klasycznym, gdy cząstki traktujemy jako korpuskuły, **całkowity przekrój czynny** jest po prostu powierzchnią tarczy prostopadłą do kierunku padających cząstek,

a **różniczkowy przekrój czynny** jest fragmentem tej powierzchni, który rozprasza padającą cząstkę w kierunku detektora,

Całkowity przekrój czynny

$$\begin{aligned}\sigma &= \int_0^{4\pi} \frac{d\sigma(\Omega)}{d\Omega} d\Omega = \int_0^{\pi} \sin\theta d\theta \int_0^{2\pi} d\varphi \frac{d^2\sigma(\Omega)}{d\theta d\varphi} \\ &= \int_{-1}^1 d\cos\theta \int_0^{2\pi} d\varphi \frac{d^2\sigma(\Omega)}{d\cos\theta d\varphi}\end{aligned}$$

określa prawdopodobieństwo rozproszenia cząstki na tarczy, która sama na ogół jest cząstką.

W przypadku klasycznym, gdy cząstki traktujemy jako korpuskuły, **całkowity przekrój czynny** jest po prostu powierzchnią tarczy prostopadłą do kierunku padających cząstek,

a **różniczkowy przekrój czynny** jest fragmentem tej powierzchni, który rozprasza padającą cząstkę w kierunku detektora, czyli do kąta bryłowego zawartego w przedziale $(\Omega, \Omega + d\Omega)$.

Całkowity przekrój czynny

$$\begin{aligned}\sigma &= \int_0^{4\pi} \frac{d\sigma(\Omega)}{d\Omega} d\Omega = \int_0^{\pi} \sin\theta d\theta \int_0^{2\pi} d\varphi \frac{d^2\sigma(\Omega)}{d\theta d\varphi} \\ &= \int_{-1}^1 d\cos\theta \int_0^{2\pi} d\varphi \frac{d^2\sigma(\Omega)}{d\cos\theta d\varphi}\end{aligned}$$

określa prawdopodobieństwo rozproszenia cząstki na tarczy, która sama na ogół jest cząstką.

W przypadku klasycznym, gdy cząstki traktujemy jako korpuskuły, **całkowity przekrój czynny** jest po prostu powierzchnią tarczy prostopadłą do kierunku padających cząstek,

a **różniczkowy przekrój czynny** jest fragmentem tej powierzchni, który rozprasza padającą cząstkę w kierunku detektora, czyli do kąta bryłowego zawartego w przedziale $(\Omega, \Omega + d\Omega)$.

Przeprowadzając analizę procesu rozpraszania cząstki na pakietach falowych i wykorzystując przedstawienie asymptotyczne

$$u(r, \theta, \varphi) \sim \left[e^{ikz} + \frac{f(\theta, \varphi)}{r} e^{ikr} \right],$$

można pokazać,

Przeprowadzając analizę procesu rozpraszania cząstki na pakietach falowych i wykorzystując przedstawienie asymptotyczne

$$u(r, \theta, \varphi) \sim \left[e^{ikz} + \frac{f(\theta, \varphi)}{r} e^{ikr} \right],$$

można pokazać, *patrz np.* John R. Taylor, *Scattering Theory*, rozdz. 10,

Przeprowadzając analizę procesu rozpraszania cząstki na pakietach falowych i wykorzystując przedstawienie asymptotyczne

$$u(r, \theta, \varphi) \sim \left[e^{ikz} + \frac{f(\theta, \varphi)}{r} e^{ikr} \right],$$

można pokazać, *patrz np.* John R. Taylor, *Scattering Theory*, rozdz. 10, że

$$\frac{d\sigma(\Omega)}{d\Omega} = |f(\theta, \varphi)|^2,$$

Przeprowadzając analizę procesu rozpraszania cząstki na pakietach falowych i wykorzystując przedstawienie asymptotyczne

$$u(r, \theta, \varphi) \sim \left[e^{ikz} + \frac{f(\theta, \varphi)}{r} e^{ikr} \right],$$

można pokazać, *patrz np.* John R. Taylor, *Scattering Theory*, rozdz. 10, że

$$\frac{d\sigma(\Omega)}{d\Omega} = |f(\theta, \varphi)|^2,$$

gdzie amplitudę rozpraszania $f(\theta, \varphi)$ na ogół wyliczamy z teorii,

Przeprowadzając analizę procesu rozpraszania cząstki na pakietach falowych i wykorzystując przedstawienie asymptotyczne

$$u(r, \theta, \varphi) \sim \left[e^{ikz} + \frac{f(\theta, \varphi)}{r} e^{ikr} \right],$$

można pokazać, *patrz np.* John R. Taylor, *Scattering Theory*, rozdz. 10, że

$$\frac{d\sigma(\Omega)}{d\Omega} = |f(\theta, \varphi)|^2,$$

gdzie amplitudę rozpraszania $f(\theta, \varphi)$ na ogół wyliczamy z teorii, a różniczkowy przekrój czynny $\frac{d\sigma(\Omega)}{d\Omega}$ mierzymy w doświadczeniu, ustawiając detektory pod różnymi kątami.

Przeprowadzając analizę procesu rozpraszania cząstki na pakietach falowych i wykorzystując przedstawienie asymptotyczne

$$u(r, \theta, \varphi) \sim \left[e^{ikz} + \frac{f(\theta, \varphi)}{r} e^{ikr} \right],$$

można pokazać, *patrz np.* John R. Taylor, *Scattering Theory*, rozdz. 10, że

$$\frac{d\sigma(\Omega)}{d\Omega} = |f(\theta, \varphi)|^2,$$

gdzie amplitudę rozpraszania $f(\theta, \varphi)$ na ogół wyliczamy z teorii, a różniczkowy przekrój czynny $\frac{d\sigma(\Omega)}{d\Omega}$ mierzymy w doświadczeniu, ustawiając detektory pod różnymi kątami.